



รายงานการวิจัย

การศึกษาแนวทางการป้องกันการบาดเจ็บบริเวณหลังส่วนล่าง ที่เกิดขึ้นจากการอออกแรงดันและลาก

**Prevention of Low Back Pain
Related to Pushing and Pulling Tasks**

ผู้วิจัย

ผู้ช่วยศาสตราจารย์ ดร. พรศิริ จงกล
สาขาวิชาวิศวกรรมอุตสาหการ
สำนักวิชาวิศวกรรมศาสตร์

ได้รับทุนอุดหนุนการวิจัยจากมหาวิทยาลัยเทคโนโลยีสุรนารี ปีงบประมาณ 2547-2548
ผลงานวิจัยเป็นความรับผิดชอบของหัวหน้าโครงการวิจัยแต่เพียงผู้เดียว

ตุลาคม 2549

กิติกรรมประกาศ

ผู้วิจัยขอขอบพระคุณผู้ถูกทดสอบทุกท่านที่เสียสละเวลาหาด้วยชั่วโมงมาร่วมการทดลอง
ขอขอบคุณ นายนพฉัตร วิริยะนุกูล และ นาย พุลศักดิ์ ปราภี ที่ได้ช่วยเก็บรวบรวมข้อมูลใน
งานวิจัยครั้งนี้ ขอขอบคุณ คุณพันธุ์พิพิธ ถาวรสวัสดิ์ คุณปราภี กฐินใหม่ และ คุณ จำนงค์
พายสารน้อย ที่ได้ช่วยเหลือในการทำงานวิจัยมาโดยตลอด

ผู้วิจัยขอกราบขอบพระคุณ ศาสตราจารย์ ดร.กิตติ อินทรานนท์ ผู้ช่วยศาสตราจารย์ ดร.
ทวี เลิศปัญญาวิทย์ ผู้ช่วยศาสตราจารย์ ดร.ยงยุทธ เสริมนฤชีนุวัฒน์ และ Professor Dr.Biman Das
ที่ได้ให้ข้อคิดและสนับสนุนการทำงานวิจัยทางด้าน Ergonomics ตลอดมา ขอขอบคุณอาจารย์
ดร.วีระชัย โนโนพิเชฐวัฒนา ที่ได้สนับสนุนการทำงานวิจัยและจัดทำซื้อเครื่องมือและอุปกรณ์
ทางด้าน Ergonomics มาไว้ใช้ในการเรียนการสอนและงานวิจัย ขอบคุณคุณย์เกรียงมีอวิทยาศาสตร์
และเทคโนโลยีที่ได้อำนวยความสะดวกในการทดลอง

ท้ายนี้ผู้วิจัยขอขอบพระคุณ คุณไสวและคุณสมหมาย คงกล ที่ได้ให้กำลังใจและความ
ช่วยเหลือในการติดต่อผู้ถูกทดสอบงานงานวิจัยนี้สำเร็จลุล่วงไปด้วยดี

พรศิริ คงกล

บทคัดย่อ

การศึกษาวิจัยครั้งนี้มีวัตถุประสงค์ดังนี้คือ 1) เพื่อชี้บ่งปัจจัยเสี่ยงที่มีผลผลกระทบต่อความสามารถในการออกแรงดันและลาก และ 2) เพื่อออกแบบบริการทำงานดันและลากที่ปลอดภัย และ 3) เพื่อสร้างฐานข้อมูลค่าความสามารถในการออกแรงดันและลากของคนไทย งานวิจัยนี้ได้ดำเนินการเก็บข้อมูลดังนี้คือ 1) คุณลักษณะทางกายภาพของผู้ถูกทดสอบ โดยใช้เครื่องซึ่งน้ำหนัก เครื่องวัดสัดส่วนร่างกาย เครื่องวัดแรงบีบมือ และ เครื่องวัดแรงบีบนิ่มมือ 2) ความสามารถในการออกแรงดันและลากบนพื้นปกติ โดยใช้เครื่องมือวัดแรงสถิตย์ และ 3) ความสามารถในการออกแรงดันและลากบนพื้นลื่น โดยใช้เครื่องมือวัดแรงสถิตและฐานรองรับผู้ถูกทดสอบที่ซ่อนด้วย ผ้าม่าน ผู้ถูกทดสอบที่เข้าร่วมในงานวิจัยครั้งนี้มีจำนวน 34 คน เป็นเพศชาย 17 คน และเพศหญิง 17 คน และทุกคนมีประสบการณ์การทำงานในภาคอุตสาหกรรม

การเก็บข้อมูลความสามารถในการออกแรงดันและลากบนพื้นปกติกระทำในท่าทางที่เห็นอกันจำนวน 12 ท่า ท่าทางที่ใช้ในการออกแรงดันและลากในบริเวณปฏิบัติงานจากปัจจัยดังนี้ 1) ความสูงของจุดที่ออกแรง (ระดับข้อนิ้ว ศอก และไหล่) 2) ระยะทาง (ครึ่งหนึ่งของระยะเหยียดแขน และ ระยะเหยียดแขน) และ 3) นุ่มนิ่วนิ่ว บนแนวราบทองแขน (0 และ 90 องศา) ส่วนการเก็บข้อมูลความสามารถในการออกแรงดันและลากบนพื้นลื่นนั้นกระทำโดยมีเงื่อนไขที่เห็นอกันจำนวน 24 เงื่อนไข ซึ่งเกิดขึ้นจากปัจจัยดังนี้คือ 1) ความสูงของจุดที่ออกแรง (ระดับข้อนิ้ว ศอก และไหล่) 2) ระยะทาง (ครึ่งหนึ่งของระยะเหยียดแขน และ ระยะเหยียดแขน) 3) การวางเท้า (ปลายเท้าเสมอ กัน และ ปลายเท้าเอียงกัน) และ 4) ลักษณะของพื้นรองเท้า (พื้นลายขาว และพื้นลายหยก) หลังจากนั้นนำข้อมูลความสามารถในการออกแรงหลังจากนั้นนำข้อมูลความสามารถในการออกแรงไว้คระทั้งสิ่งที่ทางสถิติโดยการวิเคราะห์ความแปรปรวน

ผลการทดลองพบว่า ค่าสูงสุดของความสามารถในการออกแรงดันบนพื้นปกติของเพศชาย และหญิงเท่ากับ 123.4 และ 100.47 นิวตัน ตามลำดับ ค่าสูงสุดของความสามารถในการออกแรงดันบนพื้นลื่นของเพศชายและหญิงเท่ากับ 145.77 และ 108.66 นิวตัน ตามลำดับ ค่าสูงสุดของความสามารถในการออกแรงลากบนพื้นปกติของผู้ถูกทดสอบชายและหญิงเท่ากับ 140.6 และ 98.99 นิวตัน ตามลำดับ ค่าสูงสุดของความสามารถในการออกแรงลากบนพื้นลื่นของผู้ถูกทดสอบชายและหญิงเท่ากับ 138.8 และ 99.86 นิวตัน ตามลำดับ จากการวิเคราะห์ความแปรปรวนพบว่า ปัจจัยที่มีผลต่อค่าความสามารถในการออกแรงดันและลากบนพื้นปกติอย่างมีนัยสำคัญยิ่ง คือ เพศ และระดับความสูง ส่วนปัจจัยที่มีผลต่อค่าความสามารถในการออกแรงดันและลากบนพื้นลื่นอย่างมีนัยสำคัญยิ่ง คือ เพศ ระดับความสูง ระยะเหยียดแขน ลักษณะการวางเท้า และ พื้นรองเท้า

Abstract

The objectives of this study were 1) to determine factors affecting the pushing and pulling strengths, 2) to design the safe pushing and pulling methods, and 3) to create the database of pushing and pulling strengths of Thai workers. The anthropometer, the scale, the grip strength measurement equipment, and the pinch strength measurement equipment were used to measure physical characteristics of the subjects. The static strength measurement equipment and a platform were used to measure the pushing and pulling strengths. To simulate the slippery surface in industry, baby oil was rubbed on the surface of the platform. The industrial workers participated in this study were 17 males and 17 females.

The isometric pushing and pulling strengths exerted on the normal floor were measured under 12 conditions. These measurement conditions were combinations of height (knuckle, elbow, and shoulder), reach (normal and maximum), and horizontal angle of arms (0 and 90 degrees). The isometric pushing and pulling strengths exerted on the slippery floor were measured under 24 conditions. These conditions were defined by height (knuckle, elbow, and shoulder) , reach (normal and maximum), footing condition (even and uneven), and outsoles (horizontal line and v-shaped line). The analysis of variance was performed to determine the significant factors.

The greatest isometric pushing strengths exerted on the normal floor for males and females were 123.4 and 100.47 N (Newton), respectively. The greatest isometric pulling strengths exerted on the normal floor for males and females were 145.7 and 108.66 N, respectively. The greatest isometric pushing strengths exerted on the slippery floor for males and females were 140.6 and 98.99 N, respectively. The greatest isometric pulling strengths exerted on the slippery floor for males and females were 138.8 and 99.86 N, respectively. The factors affecting pushing and pulling strengths on the normal floor were gender and height whereas those affecting pushing and pulling strengths on the slippery floor were gender, height, reach, footing condition and outsoles.

สารบัญ

	หน้า
กิตติกรรมประกาศ.....	ก
บทคัดย่อภาษาไทย.....	ข
บทคัดย่อภาษาอังกฤษ.....	ค
สารบัญ.....	ง
สารบัญตาราง.....	ฉ
บทที่ 1 บทนำ.....	1
1.1 ความสำคัญของปัญหา.....	1
1.2 ที่มาของปัญหา.....	1
1.3 วัตถุประสงค์ของโครงการวิจัย.....	2
1.4 ขอบเขตของโครงการวิจัย	2
1.5 วิธีดำเนินการวิจัยโดยย่อ.....	2
1.6 ประโยชน์ที่คาดว่าจะได้รับ.....	3
บทที่ 2 การทบทวนเอกสารที่เกี่ยวข้อง.....	4
2.1 การทบทวนเอกสารที่เกี่ยวข้อง.....	4
2.2 แบบการวิจัย.....	4
2.3 ขั้นตอนและวิธีการเก็บข้อมูล และการกำหนดพื้นที่ประชากรตัวอย่าง....	5
2.4 ระยะเวลาที่ใช้ในการวิจัย.....	5
บทที่ 3 วิธีการดำเนินการวิจัย.....	6
3.1 การศึกษาคุณลักษณะทางกายภาพของผู้ถูกทดสอบ.....	6
3.2 การศึกษาความสามารถในการออกแรงดันและลากบนพื้นปกติ.....	8
3.3 การศึกษาความสามารถในการออกแรงดันและลากบนพื้นลื่น.....	9
บทที่ 4 ผลการวิจัย.....	12
4.1 คุณลักษณะทางกายภาพของผู้ถูกทดสอบ.....	12
4.2 การศึกษาความสามารถในการออกแรงดันและลากบนพื้นปกติ.....	14
4.3 การศึกษาความสามารถในการออกแรงดันและลากบนพื้นลื่น.....	21
บทที่ 5 สรุปและข้อเสนอแนะ.....	31
5.1 สรุป.....	31
5.2 ข้อเสนอแนะ.....	32
5.3 วิธีการนำผลไปใช้ในทางปฏิบัติ.....	33

បររលាយក្រម.....	34
ភាគធម្មោគ.....	36
ភាគធម្មោគ ក.....	36
ថ្វីវត្ថុជីមិន.....	39

สารบัญตาราง

	หน้า
บทที่ 1 บทนำ.....	1
บทที่ 2 การทบทวนเอกสารที่เกี่ยวข้อง.....	4
บทที่ 3 วิธีการดำเนินการวิจัย.....	6
ตาราง 3.1 คุณลักษณะทางกายภาพจำนวน 41 รายการ.....	7
ตาราง 3.2 ท่าทางที่ใช้ในการออกแรงดันและลากบนพื้นปกติ.....	8
ตาราง 3.3 ท่าทางที่ใช้ในการออกแรงดันและลากบนพื้นลื่น.....	10
บทที่ 4 ผลการวิจัย.....	13
ตาราง 4.1 ค่าเฉลี่ยและส่วนเบี่ยงเบนมาตรฐานของคุณลักษณะทางกายภาพ ของผู้ถูกทดสอบ	12
ตาราง 4.2 ค่าเฉลี่ยและส่วนเบี่ยงเบนมาตรฐานของความสามารถในการออก แรงดันบนพื้นปกติของผู้ถูกทดสอบชาย (หน่วยเป็นนิวตัน).....	14
ตาราง 4.3 ค่าเฉลี่ยและส่วนเบี่ยงเบนมาตรฐานของความสามารถในการออก แรงดันบนพื้นปกติของผู้ถูกทดสอบหญิง (หน่วยเป็นนิวตัน).....	15
ตาราง 4.4 ผลการวิเคราะห์ความแปรปรวนของความสามารถในการออก แรงดันบนพื้นปกติ.....	16
ตาราง 4.5 ค่าเฉลี่ยและส่วนเบี่ยงเบนมาตรฐานของความสามารถในการออก แรงดันบนพื้นปกติของผู้ถูกทดสอบชาย (หน่วยเป็นนิวตัน).....	18
ตาราง 4.6 ค่าเฉลี่ยและส่วนเบี่ยงเบนมาตรฐานของความสามารถในการออก แรงดันบนพื้นปกติของผู้ถูกทดสอบหญิง (หน่วยเป็นนิวตัน).....	19
ตาราง 4.7 ผลการวิเคราะห์ความแปรปรวนของความสามารถในการออก แรงดันบนพื้นปกติ.....	20
ตาราง 4.8 ค่าเฉลี่ยและส่วนเบี่ยงเบนมาตรฐานของความสามารถในการออก แรงดันบนลื่นของผู้ถูกทดสอบชาย (หน่วยเป็นนิวตัน).....	21
ตาราง 4.9 ค่าเฉลี่ยและส่วนเบี่ยงเบนมาตรฐานของความสามารถในการออก แรงดันบนพื้นลื่นของผู้ถูกทดสอบหญิง (หน่วยเป็นนิวตัน).....	23
ตาราง 4.10 ผลการวิเคราะห์ความแปรปรวนของความสามารถในการออก แรงดันบนพื้นลื่น.....	25
ตาราง 4.11 ค่าเฉลี่ยและส่วนเบี่ยงเบนมาตรฐานของความสามารถในการออก แรงดันบนพื้นลื่นของผู้ถูกทดสอบชาย (หน่วยเป็นนิวตัน).....	26

ตาราง 4.12 ค่าเฉลี่ยและส่วนเบี่ยงเบนมาตรฐานของความสามารถในการออก แรงงานพื้นลื่นของผู้ถูกทดสอบหญิง (หน่วยเป็นนิวตัน).....	28
ตาราง 4.13 ผลการวิเคราะห์ความแปรปรวนของความสามารถในการออก แรงงานพื้นลื่น.....	30

สารบัญภาพ

บทที่ 1

บทนำ

1.1 ความสำคัญของปัญหา

การได้รับอันตรายบริเวณกระดูกสันหลังตอนล่างเป็นปัญหาสำคัญอย่างยิ่ง เนื่องจากเกิดความเสียหายต่อผู้ประสบเหตุโดยตรง อันได้แก่ การบาดเจ็บแบบทันที และแบบเรื้อรัง พิการ หรืออาจรุนแรงจนถึงขั้นเสียชีวิต รวมทั้งเกิดภาระทางค้านค่ารักษาพยาบาล นุ่ลด่าความเสียหายอันเกิดจากการประสบอันตรายดังกล่าวจะส่งผลกระทบต่อระบบเศรษฐกิจของประเทศไทย การบาดเจ็บที่เกิดขึ้นจากการทำงานบนเข็มวัสดุหนัก (Manual Materials Handling) นับได้ว่าเป็นสาเหตุหลักที่ทำให้เกิดบาดเจ็บบริเวณกระดูกสันหลังตอนล่าง และส่งผลให้ผู้ประสบอันตรายทำงานไม่ได้ชั่วคราว (National Institute for Occupational Safety and Health [NIOSH] 1981)

โดยทั่วไปแล้ว การทำงานบนเข็มวัสดุหนักที่เป็นสาเหตุของโรคเงินหลัง (Low-Back Disorder) นั้นนักจะเป็นกิจกรรมที่ต้องออกแรงมาก เช่น การยก การดัน การลาก (Anderson 1997) ในปัจจุบัน ได้มีการนำเอาหลักชีววิศวศาสตร์ (Biomechanics) เข้ามาใช้ในการศึกษาแนวทางป้องกันโรคเงินหลัง โดยมุ่งเน้นไปที่การตรวจสอบความหนักของงาน (Work Load) ที่เกิดขึ้นในกิจกรรมการยกวัสดุเป็นหลัก ทั้งนี้เนื่องจากภาระยกวัสดุเป็นกิจกรรมที่เกิดขึ้นในการทำงานบ่อยมากกว่าการดันและการลาก แต่อย่างไรก็ตามการดันและลากยังคงเป็นกิจกรรมที่มีความเสี่ยงในการประสบอันตรายและบาดเจ็บบริเวณหลัง เนื่องจากกิจกรรมดังกล่าวสามารถทำให้แรงกด (Compressive Forces) และโมเมนต์ดัด (Bending Moments) ที่เกิดบนกระดูกสันหลังนั้นมีค่ามากเกินกว่าที่กระดูกสันหลังจะทนรับได้ (Chaffin and Anderson 1991) โดยเฉพาะอย่างยิ่งการดันและลากวัสดุหนักบริเวณพื้นดินนั้น ทำให้ภารที่กระทำต่อกระดูกสันหลัง (Spinal Loading) นั้นเพิ่มมากขึ้นด้วย (Lavender et al. 1998)

จากการสำรวจพบว่า ในจำนวนการเกิดอุบัติเหตุที่ส่งผลให้เกิดการบาดเจ็บบริเวณหลังส่วนหลัง 122 ราย มีสาเหตุมาจากการลื่นล้มมากถึง 47% (Manning 1983) และการลื่นล้มชนิดรับบาดเจ็บนี้เกิดขึ้นในขณะดันและลากวัสดุ การลดอัตราการบาดเจ็บบริเวณหลังตอนล่างนั้น สามารถกระทำได้โดยลดความหนักของงาน (Work Load) ให้น้อยลง ในทางปฏิบัติแล้วการนำอาวุปกรณ์ที่ใช้ในการขนย้ายวัสดุ (Material Handling Devices, MHDs) เช่น เครน สายพาน รถฟอร์คลิฟท์ มาใช้งานกับสามารถลดภาระงานของกล้ามเนื้อ (Muscle Workload) ของผู้ปฏิบัติงานได้ส่วนหนึ่ง แต่อาวุปกรณ์ดังกล่าวมักมีราคาแพงและมีข้อจำกัดในเรื่องการใช้งานในพื้นที่ต่างๆ จึงทำให้บังคับมีการใช้แรงงานคนเป็นหลัก ซึ่งส่งผลให้จำนวนของการประสบอันตรายและบาดเจ็บของผู้ปฏิบัติงานยังคงสูงอยู่ อีกทั้งการหนึ่งที่สามารถแก้ไขปัญหาดังกล่าวได้ คือ ต้องมีการออกแบบการทำงาน (Task Design) โดยพิจารณาความสามารถในการอ่านแรงของผู้ปฏิบัติงานเป็นหลัก (MacKinnon 1998) และทำการ

ฝึกอบรมผู้ปฏิบัติงานในเรื่องวิธีการทำงานที่ถูกต้อง ซึ่งวิธีดังกล่าวจำเป็นต้องใช้ฐานข้อมูลเรื่อง ความสามารถในการออกแบบของคนไทย แต่ฐานข้อมูลดังกล่าวของประเทศไทยยังมีอยู่น้อย

1.2 ที่มาของปัญหา

ปัญหาของการประสบอันตรายและการบาดเจ็บเนื่องจากการขับขี่วัสดุหนักและการลื่นล้ม เป็นปัญหาสำคัญที่ควรได้รับการแก้ไขอย่างถูกต้อง ทั้งนี้จะเห็นได้จากสถิติการประสบอันตรายหรือ เจ็บป่วยเนื่องจากการทำงาน พ.ศ.2542-2544 (สำนักงานประกันสังคม 2542-2544) พบว่าการบาดเจ็บ อันเนื่องมาจากการเคลื่อนย้ายวัสดุหนักมีมากถึง 8,719 รายใน พ.ศ.2542 7,775 รายใน พ.ศ.2543 และ 7,071 รายใน พ.ศ.2544 ส่วนการประสบอันตรายในลักษณะหล่นล้ม/ลื่นล้ม เป็นจำนวน 4,474 รายใน พ.ศ.2542 4,388 รายใน พ.ศ.2543 และ 5,088 รายใน พ.ศ.2544 การศึกษาความสามารถในการออกแบบดันและลากบนพื้นปกติและพื้นสีน้ำเงินทั้งปัจจัยด่างๆ ที่มีผลต่อความสามารถในการออกแบบดันและลาก จึงมีความสำคัญที่จะนำไปใช้กำหนดเป็นแนวทางในการออกแบบการทำงานเพื่อ ป้องกันการประสบอันตรายและบาดเจ็บบริเวณหลังคอกลาง

1.3 วัตถุประสงค์ของโครงการวิจัย

- 1.3.1 เพื่อชี้บ่งปัจจัยเสี่ยงที่มีผลกระทบต่อความสามารถในการออกแบบดันและลาก
- 1.3.2 เพื่อออแบบวิธีการทำงานดันและลากที่ปลอดภัย
- 1.3.3 เพื่อสร้างฐานข้อมูลค่าความสามารถในการออกแบบดันและลากของคนไทย

1.4 ขอบเขตของโครงการวิจัย

1.4.1 การวัดความสามารถในการออกแบบดันและลากในงานวิจัยนี้เป็นการวัดแบบสถิติและ วัดเฉพาะในที่นี่เท่านั้น

1.4.2 ในการวิจัยครั้งนี้มีวัตถุประสงค์ในการสร้างฐานข้อมูลความสามารถในการออกแบบดัน และลาก แต่อย่างไรก็ตาม การวิจัยครั้งนี้ก็มีข้อจำกัดในเรื่องของจำนวนผู้ถูกทดสอบ เนื่องจากการเก็บ ข้อมูลของผู้ถูกทดสอบแต่ละคนต้องใช้เวลาหลายวันซึ่งแล้วเสร็จ ทำให้เกิดข้อจำกัดในเรื่องของการมี ผู้ถูกทดสอบจำนวนนัก ก็ตั้งทั้งอุปกรณ์และสถานที่ที่ใช้ในการทดลองจะต้องนำมาใช้ในการเรียนการ สอนด้วยในภาคการศึกษาปกติ ตามนโยบายการจัดการทรัพยากรของมหาวิทยาลัยเทคโนโลยีสุรนารี ดังนั้นจำนวนผู้ถูกทดสอบจึงมีจำนวน 34 คน

1.5 วิธีการดำเนินการวิจัยโดยย่อ

งานวิจัยนี้ได้ดำเนินการเก็บข้อมูลดังนี้ กือ

- 1.5.1 คุณลักษณะทางกายภาพของผู้ถูกทดสอบ
 - 1.5.2 ความสามารถในการออกเรงยกสติ๊บันพื้นปกติ
 - 1.5.3 ความสามารถในการออกเรงยกสติ๊บันพื้นลื่น
- หลังจากนั้นนำข้อมูลที่ได้ไปวิเคราะห์ทางสถิติ และแปลผลที่เกิดขึ้น

1.6 ประโยชน์ที่คาดว่าจะได้รับ

- 1. เป็นองค์ความรู้ในการวิจัยต่อไป
 - 2. เป็นประโยชน์ต่อประชากรกลุ่มเป้าหมายซึ่งเป็นผู้ใช้งานในการปฏิบัติงาน
- หน่วยงานที่นำผลการวิจัยไปใช้ประโยชน์

บทที่ 2

การทบทวนเอกสารที่เกี่ยวข้อง

2.1 การทบทวนเอกสารที่เกี่ยวข้อง

งานวิจัยในเรื่องความสามารถในการอุปกรุงดันและลากนั้น ส่วนใหญ่มุ่งเน้นการทดลองในแนวทางจิตภัยภาพ (Psychophysics) ในทางดังกล่าว ได้ประเมินความเสี่ยงอันตรายเกิดขึ้นจากการอุปกรุงใน 2 ลักษณะ ลักษณะแรก ประเมินความเสี่ยงจากค่าสูงสุดของการทวนต่อการทำงานที่เกิดขึ้นใน 1 วันทำงาน (The Maximum Work Tolerance on a Working Day) ซึ่งคำนวณได้จากค่าความสามารถสูงสุดในการอุปกรุงดันและลากแบบสติกิตต์ (Waters et. Al. 1993) โดยทั่วไปแล้วค่าสูงสุดของการทำงานที่เกิดขึ้นในการทำงาน 8 ชั่วโมงใน 1 วันจะต้องไม่เกิน 15% ของค่าความสามารถสูงสุดในการอุปกรุงแบบสติกิตต์ (Konz 1995) ลักษณะที่สอง ประเมินความเสี่ยงจากค่าแรงสูงสุดที่ยอมรับได้ในการทำงานอุปกรุงในช่วงระยะเวลาหนึ่ง (Ciriello et al. 1993) ในการหาค่าดังกล่าวผู้อุปกรุงดันจะเป็นผู้ปรับค่าแรงที่ใช้ในการดันและลากเอง โดยอาศัยความรู้สึกล้ำของตนเองเป็นหลัก (Snook 1978) โดยทั่วไปแล้วความเสี่ยงที่ผู้ปฏิบัติงานได้รับการบาดเจ็บและเกิดโรคอันเนื่องมาจากการทำงาน (Musculoskeletal Disorders) นั้นสูงมากขึ้นเมื่ออุปกรุงในการทำงานเกิดกว่าค่า 15% ของค่าความสามารถสูงสุดในการอุปกรุงแบบสติกิตต์และเมื่ออุปกรุงเกินค่าแรงสูงสุดที่ยอมรับได้

ในการอุปกรุงดันและลากนั้น มีปัจจัยเสี่ยง (Risk Factors) หลายอย่างที่จะก่อให้เกิดการบาดเจ็บดังเช่น ระยะทางในการดันและลากวัดถูก ความถี่ในการอุปกรุงดันและลาก ความสูงของมือขึ้นรถเข็น น้ำหนักของรถเข็นและวัตถุระหง่านระหว่างท้าทึงสองข้าง ลักษณะท่าทางในขณะอุปกรุง สัคส่วนร่างกายของผู้ปฏิบัติงาน เป็นต้น (Hoozemans 1998) ลักษณะท่าทางในขณะอุปกรุงนับว่าเป็นปัจจัยที่สำคัญมากไปข้างหนึ่ง เนื่องจากมีผลโดยตรงต่อเสถียรภาพ (Stability) ของผู้อุปกรุง และมีผลต่อค่าแรงที่วัดได้ตามหลักชีวกลศาสตร์ (Biomechanics) ผลการศึกษาเรื่องปัจจัยเสี่ยงเหล่านี้สามารถนำมาใช้เป็นหลักในการออกแบบการทำงานดันและลาก เพื่อให้ผู้ปฏิบัติงานเกิดความปลอดภัยสูงสุดได้

2.2 แบบการวิจัย (Research Design)

งานวิจัยนี้ประกอบด้วยการทดลองย่อย 3 ส่วน ดังนี้

- คุณลักษณะทางกายภาพของผู้อุปกรุงดัน
- ความสามารถในการอุปกรุงแบบสติกิตต์บนพื้นปกติ
- ความสามารถในการอุปกรุงแบบสติกิตต์บนพื้นลื่น

2.3 ขั้นตอนและวิธีการในการเก็บข้อมูล การกำหนดพื้นที่ประชากร ตัวอย่าง

ขั้นตอน

1. จัดเตรียมการทดลอง (Experimental Set-up)
2. ทำการทดลองตัวอย่าง (Pilot Study) เพื่อตรวจสอบและแก้ไขอุปสรรคที่เกิดขึ้นในขณะทำการทดลอง
3. คัดเลือกผู้ถูกทดสอบ
4. ทำการทดลองจริง

วิธีการเก็บข้อมูล

1. เก็บข้อมูล อาชญาหนัก และสัดส่วนร่างกายของผู้ถูกทดสอบ ในท่ายืนและนั่ง
2. วัดความสามารถในการออกแรงดันและลากสติดยึดโดยใช้เครื่องมือวัดความสามารถในการออกแรงสติดยึดบนพื้นปูดีและบนพื้นลื่น โดยผู้ถูกทดสอบจะได้พักอย่างน้อย 2 นาที หลังจากออกแรงดันหรือลากแต่ละครั้ง ทั้งนี้เพื่อให้กล้ามเนื้อไม่เกิดความล้าในขณะถูกทดสอบ

การกำหนดพื้นที่ประชากรตัวอย่าง

ผู้ถูกทดสอบเป็นผู้อาศัยอยู่ในเขตจังหวัดนครราชสีมา เพศชาย อายุระหว่าง 18-50 ปี และไม่เคยบาดเจ็บตามบริเวณหลัง แขน ขา มือ และลำตัวในช่วง 5 ปีที่ผ่านมา

2.4 ระยะเวลาที่ใช้ในการวิจัย

2 ปี (มกราคม 2547 - ธันวาคม 2548)

บทที่ 3

วิธีดำเนินการวิจัย

บทนี้กล่าวถึงวิธีการเก็บข้อมูลและวิเคราะห์ข้อมูลทางสถิติของการทดลองย่อยทั้งหมดดังนี้

3.1 การศึกษาคุณลักษณะทางกายภาพของผู้อุปกรณ์สอน

3.1.1 เครื่องมือและอุปกรณ์ที่ใช้

- 1) เครื่องชั่งน้ำหนัก
- 2) เครื่องวัดสัดส่วนร่างกาย
- 3) เครื่องวัดแรงบีบมือ
- 4) เครื่องวัดแรงบีบนิ้วมือ

3.1.2 การเก็บข้อมูลคุณลักษณะทางกายภาพ

คุณลักษณะทางกายภาพประกอบด้วย อายุ น้ำหนัก และ สัดส่วนร่างกายของผู้อุปกรณ์สอน รวมทั้งสิ้น 41 รายการ การวัดคุณลักษณะทางกายภาพแบ่งเป็นการวัดในท่าเขิน 21 รายการ และวัดในท่าเย็น 20 รายการ ตามวิธีการของ Konz (1995) ดังแสดงในตาราง 3.1

ตาราง 3.1 คุณลักษณะทางกายภาพจำนวน 41 รายการ

ลำดับ	สัดส่วนร่างกาย	การวัดในท่า
1	น้ำหนัก (กก.)	เขิน
2	ความสูง (เขิน) (ซม.)	เขิน
3	ความสูงระดับไหล่(เขิน) (ซม.)	เขิน
4	ความสูงระดับศอก(เขิน) (ซม.)	เขิน
5	ความสูง (นั่ง) (ซม.)	นั่ง
6	ความสูงระดับไหล่(นั่ง) (ซม.)	นั่ง
7	ความสูงระดับศอก(นั่ง) (ซม.)	นั่ง
8	ความสูงจากพื้นดึงให้ขาพับ (ซม.)	นั่ง
9	ความสูงจากพื้นดึงขาท่อวนน (หน้าตัก) (ซม.)	นั่ง

10	ความกังวลช่วงใกล้ (ชน.)	ขึ้น
11	ความกังวลช่วงออก (วัดที่ด้านนอก) (ชน.)	ขึ้น
12	ความกังวลช่วงออก (วัดที่ได้รับแพร่) (ชน.)	ขึ้น
13	ความหนาของลำตัวช่วงออก (ชน.)	ขึ้น
14	ความหนาของลำตัวช่วงท้อง (ชน.)	ขึ้น
15	ระยะเหยียบของแขน (ไปด้านหน้า) (ชน.)	ขึ้น
16	ระยะเหยียบของแขน (เอียงให้ล่างไว้) (ชน.)	ขึ้น
17	ระยะจากก้นถึงใต้ขาหัน (ชน.)	นั่ง
18	ระยะจากก้นถึงเข่า (ชน.)	นั่ง
19	ระยะจากข้อศอกถึงปลายนิ้ว (ชน.)	นั่ง
20	ระยะจากข้อศอกถึงกลางผ้ามือขณะกำมือ (ชน.)	นั่ง
21	ความกังวลของสะโพก (ชน.)	นั่ง
22	ความหนาของลำตัวช่วงท้อง (ชน.)	ขึ้น
23	ความยกเว้า (ชน.)	ขึ้น
24	ความกังวลเว้า (ชน.)	ขึ้น
25	ความกังวลของมือ (ชน.)	นั่ง
26	ความขาวของมือ (ชน.)	นั่ง
27	ระยะด้านในของกามีอ (ชน.)	นั่ง
28	ความหนาของมือ (ชน.)	นั่ง
29	ความขาวของศีรษะ (ชน.)	นั่ง
30	ความหนาของขาท่อนบน (ชน.)	นั่ง
31	ความกังวลโคนขาขณะนั่ง (ชน.)	นั่ง
32	แรงนิ่มนิ่วนิ่ว (กิโลกรัม)	ขึ้น
33	แรงนิ่มนิ่ว (กิโลกรัม)	ขึ้น
34	เส้นรอบศีรษะ (ชน.)	นั่ง
35	เส้นรอบคอ (ชน.)	นั่ง
36	เส้นรอบเอว (ชน.)	ขึ้น
37	เส้นรอบสะโพก (ชน.)	ขึ้น
38	เส้นรอบแขนท่อนบนขณะเหยียดตรง (ชน.)	ขึ้น
39	เส้นรอบแขนท่อนบนขณะขณะอ่อนตื้นที่ (ชน.)	ขึ้น

40	เส้นรอบขาก่อนล่าง(ขึ้น) (ซม.)	ขึ้น
41	เส้นรอบขาก่อนล่าง(นั่ง) (ซม.)	นั่ง

3.1.3 การวิเคราะห์ข้อมูลคุณลักษณะทางกายภาพ

คำนวณหาค่าเฉลี่ยและส่วนเบี่ยงเบนมาตรฐานของข้อมูลคุณลักษณะทางกายภาพทั้ง 41 รายการของผู้ถูกทดสอบทุกคน

3.2 การศึกษาความสามารถในการออกแรงดันและลากบนพื้นปกติ

3.2.1 เครื่องมือและอุปกรณ์ที่ใช้

1) เครื่องมือวัดแรงสอดคล้อง

3.2.2 การเก็บข้อมูลความสามารถในการออกแรงดันและลากการออกแรงดันและลากนั้นกระทำในท่าทางที่เหมือนกันจำนวน 12 ท่า ดังแสดงในตาราง 3.2 (โดยมีภาพอยู่ในภาคผนวก ก.) ท่าทางที่ใช้ในการออกแรงดันและลากในบริเวณปภูบดิจานมาจากการปั้นจั่ยดังนี้

- 1) ความสูงของชุดที่ออกแรง (ระดับข้อนิ้ว ศอก และไหล่)
- 2) ระยะทาง (ครึ่งหนึ่งของระยะเหยียดแขน และ ระยะเหยียดแขน) และ
- 3) มุมในแนวราบทองแขน (0 และ 90 องศา) โดย 0 องศาหมายถึงแขนทั้งสองข้างเหยียดไปข้างหน้าโดยกึ่งกลางของลำตัวอยู่ในระนาบแซกกิทัล (Sagittal Plane) 90 องศาหมายถึงลำตัวบิดหันไปทางด้านขวาท่านุ 90 องศากับระนาบแซกกิทัล

ลำดับท่าทางที่ใช้ในการออกแรงเป็นไปโดยลำดับทั้ง 12 ลำดับ

ตาราง 3.2 ท่าทางในการออกแรงดันและลากบนพื้นปกติ

ท่าทางที่	ความสูง	ระยะทาง	มุม
1	ข้อนิ้ว	ครึ่งหนึ่งของระยะเหยียดแขน	0
2	ข้อนิ้ว	ครึ่งหนึ่งของระยะเหยียดแขน	90
3	ข้อนิ้ว	ระยะเหยียดแขน	0
4	ข้อนิ้ว	ระยะเหยียดแขน	90
5	ศอก	ครึ่งหนึ่งของระยะเหยียดแขน	0
6	ศอก	ครึ่งหนึ่งของระยะเหยียดแขน	90
7	ศอก	ระยะเหยียดแขน	0

8	ศอก	ระยะเหยียดแขน	90
9	ໄหล່	ครึ่งหนึ่งของระยะเหยียดแขน	0
10	ໄหล່	ครึ่งหนึ่งของระยะเหยียดแขน	90
11	ໄหล່	ระยะเหยียดแขน	0
12	ໄหล່	ระยะเหยียดแขน	90

หลักในการออกแบบดันและลากสถิติมีดังนี้คือ ให้ผู้ถูกทดสอบใช้มือทั้งสองข้างกำมือจับไว้แล้วจัดท่าทางของผู้ถูกทดสอบให้เป็นไปตามกำหนด (ตารางที่ 3.2) เมื่อผู้ถูกทดสอบพร้อมแล้วจึงให้สัญญาณแก่ผู้ถูกทดสอบโดยการนับ “1 2 3” เมื่อนับถึงสามแล้ว ให้ผู้ถูกทดสอบเริ่มออกแบบและเพิ่มแรงดัน(หรือลาก)ให้มากที่สุดในช่วง 2 วินาทีแรกโดยไม่เกิดการกระดุก (Jerk) และขังคงออกแบบมากสุดต่อไปอีก 3 วินาที เมื่อเตียงออกสัญญาณดังนี้ ผู้ถูกทดสอบหดตัวออกแบบและนั่งพักอย่างน้อย 2 นาทีก่อนออกแบบครั้งต่อไป ในช่วงการออกแบบ 2 วินาทีแรกเป็นช่วงการเพิ่มแรง (Build Up) ส่วนในช่วง 3 วินาทีถัดมาเป็นช่วงที่ค่าแรงที่วัดได้มีความเสถียร (Steady State) จึงนำค่าแรงที่วัดได้ในช่วงนี้ไปคำนวณหาค่าเฉลี่ย ค่าเฉลี่ยที่ได้เป็นค่าความสามารถในการออกแบบดัน(หรือลาก)ในครั้งนั้นๆ และมีหน่วยเป็นนิวตัน

3.2.3 การวิเคราะห์ข้อมูลความสามารถในการออกแบบดันและลากบนพื้นปกติ

3.2.3.1 คำนวณหาค่าเฉลี่ยและส่วนเบี่ยงเบนมาตรฐานของข้อมูลความสามารถในการออกแบบในการออกแบบแต่ละท่า จำนวน 12 ท่า

3.2.3.2 วิเคราะห์ความแปรปรวน(Analysis of Variance) ของข้อมูลความสามารถในการออกแบบ โดยใช้โปรแกรม Minitab ซึ่งมีตัวแปรตาม (Dependent Variables) 2 ตัว ดังนี้คือ 1) แรงดัน 2) แรงลาก ส่วนตัวแปรอิสระ (Independent Variables) มี 4 ตัว ดังนี้คือ 1) เพศ 2) ความสูงของจุดที่ออกแบบ 3) ระยะทาง และ 4) นุ่มนิ่น แนวราบของแขน รูปแบบการวิเคราะห์ความแปรปรวนเป็นแบบ Randomized Complete Block โดยมีผู้ถูกทดสอบเป็นบล็อก

3.3 การศึกษาความสามารถในการออกแบบดันและลากบนพื้นเดิน

3.3.1 เครื่องมือและอุปกรณ์ที่ใช้

- 1) เครื่องมือวัดแรงสถิติ
- 2) ฐานรองรับผู้ถูกทดสอบซึ่งโหลดด้วยน้ำมันพาราфинเด็ก

3.3.2 การเก็บข้อมูลความสามารถในการออกแบบด้านและลักษณะออกแบบพื้นที่ในกระทำโดยมีเงื่อนไขที่เหมือนกันจำนวน 24 เงื่อนไข ดังแสดงในตาราง 3.3 ซึ่งภาพแสดงท่าทางอยู่ในภาคผนวก ก. เงื่อนไขในการออกแบบด้านและลักษณะในบริเวณปฏิบัติงานจากนี้จัดดังนี้

- 1) ความสูงของจุดที่ออกแบบ (ระดับข้อนิ้ว ศอก และ ไนล์)
- 2) ระยะทาง (ครึ่งหนึ่งของระยะเหยียดแขน และ ระยะเหยียดแขน)
- 3) การวางเท้า (ปลายเท้าเสมอ กัน และ ปลายเท้าเอียง กัน) และ
- 4) ลักษณะของพื้นรองเท้า (พื้นลายหัวงวง และ พื้นลายหยัก)

ลำดับท่าทางที่ใช้ในการออกแบบเป็นไปโดยสุ่มทั้ง 24 ลำดับ

ตาราง 3.3 ท่าทางในการออกแบบด้านและลักษณะพื้นที่

ท่าทางที่	ความสูง	ระยะทาง	การวางเท้า	พื้นรองเท้า
1	ข้อนิ้ว	ครึ่งหนึ่งของระยะเหยียดแขน	ปลายเท้าเสมอ กัน	ลายหัวงวง
2	ข้อนิ้ว	ครึ่งหนึ่งของระยะเหยียดแขน	ปลายเท้าเสมอ กัน	ลายหยัก
3	ข้อนิ้ว	ครึ่งหนึ่งของระยะเหยียดแขน	ปลายเท้าเอียง กัน	ลายหัวงวง
4	ข้อนิ้ว	ครึ่งหนึ่งของระยะเหยียดแขน	ปลายเท้าเอียง กัน	ลายหยัก
5	ข้อนิ้ว	ระยะเหยียดแขน	ปลายเท้าเสมอ กัน	ลายหัวงวง
6	ข้อนิ้ว	ระยะเหยียดแขน	ปลายเท้าเสมอ กัน	ลายหยัก
7	ข้อนิ้ว	ระยะเหยียดแขน	ปลายเท้าเอียง กัน	ลายหัวงวง
8	ข้อนิ้ว	ระยะเหยียดแขน	ปลายเท้าเอียง กัน	ลายหยัก
9	ศอก	ครึ่งหนึ่งของระยะเหยียดแขน	ปลายเท้าเสมอ กัน	ลายหัวงวง
10	ศอก	ครึ่งหนึ่งของระยะเหยียดแขน	ปลายเท้าเสมอ กัน	ลายหยัก
11	ศอก	ครึ่งหนึ่งของระยะเหยียดแขน	ปลายเท้าเอียง กัน	ลายหัวงวง
12	ศอก	ครึ่งหนึ่งของระยะเหยียดแขน	ปลายเท้าเอียง กัน	ลายหยัก
13	ศอก	ระยะเหยียดแขน	ปลายเท้าเสมอ กัน	ลายหัวงวง
14	ศอก	ระยะเหยียดแขน	ปลายเท้าเสมอ กัน	ลายหยัก
15	ศอก	ระยะเหยียดแขน	ปลายเท้าเอียง กัน	ลายหัวงวง
16	ศอก	ระยะเหยียดแขน	ปลายเท้าเอียง กัน	ลายหยัก
17	ไนล์	ครึ่งหนึ่งของระยะเหยียดแขน	ปลายเท้าเสมอ กัน	ลายหัวงวง
18	ไนล์	ครึ่งหนึ่งของระยะเหยียดแขน	ปลายเท้าเสมอ กัน	ลายหยัก

19	ไอล์	ครึ่งหนึ่งของระยะเหยียดแขน	ปลายเท้าเยื่องกัน	ลายขาว
20	ไอล์	ครึ่งหนึ่งของระยะเหยียดแขน	ปลายเท้าเยื่องกัน	ลายหัก
21	ไอล์	ระยะเหยียดแขน	ปลายเท้าเสมอ กัน	ลายขาว
22	ไอล์	ระยะเหยียดแขน	ปลายเท้าเสมอ กัน	ลายหัก
23	ไอล์	ระยะเหยียดแขน	ปลายเท้าเยื่องกัน	ลายขาว
24	ไอล์	ระยะเหยียดแขน	ปลายเท้าเยื่องกัน	ลายหัก

หลักในการออกแบบด้านและลักษณะพื้นดินเป็นเช่นเดียวกับบนพื้นปกติ

3.3.3 การวิเคราะห์ข้อมูลความสามารถในการออกแบบด้านและลักษณะพื้นปกติ

3.3.3.1 คำนวณหาค่าเฉลี่ยและส่วนเบี่ยงเบนมาตรฐานของข้อมูลความสามารถในการออกแบบในกราฟเร่งแต่ละท่า จำนวน 24 ท่า

3.3.3.2 วิเคราะห์ความแปรปรวน(Analysis of Variance) ของข้อมูลความสามารถในการออกแบบ โดยใช้โปรแกรม Minitab ซึ่งมีตัวแปรตาม (Dependent Variables) 2 ตัว คือ 1) แรงดัน 2) แรงลาก ส่วนตัวแปรอิสระ (Independent Variables) มี 5 ตัว คือ 1) เพศ 2) ความสูงของชุดที่ออกแบบ 3) ระยะทาง 4) การวางเท้า และ 5) ลักษณะของพื้นรองเท้า รูปแบบการวิเคราะห์ความแปรปรวนเป็นแบบ Randomized Complete Block โดยมีผู้ถูกทดสอบเป็นบล็อก

8	ศอก	ระยะเหยียดแขน	90
9	ไหล่	ครึ่งหนึ่งของระยะเหยียดแขน	0
10	ไหล่	ครึ่งหนึ่งของระยะเหยียดแขน	90
11	ไหล่	ระยะเหยียดแขน	0
12	ไหล่	ระยะเหยียดแขน	90

หลักในการออกแบบด้านบุคลากรสติ๊กเกอร์มีดังนี้คือ ให้ผู้ถูกทดสอบใช้มือทั้งสองข้างกำนมือขึ้นไว้แล้วจัดท่าทางของผู้ถูกทดสอบให้เป็นไปตามกำหนด (ตารางที่ 3.2) เมื่อผู้ถูกทดสอบพร้อมแล้วจึงให้สัญญาณแก่ผู้ถูกทดสอบโดยการนับ “1 2 3” เมื่อนับถึงสามแล้ว ให้ผู้ถูกทดสอบเริ่มออกแบบและเพิ่มแรงดัน(หรือลาก)ให้มากที่สุดในช่วง 2 วินาทีแรกโดยไม่เกิดการถربคุก (Jerk) และยังคงออกแบบมากสุดต่อไปอีก 3 วินาที เมื่อเสียงของสัญญาณดังขึ้น ผู้ถูกทดสอบหยุดออกแบบและนั่งพักอยู่นานอีก 2 นาทีก่อนออกแบบครั้งต่อไป ในช่วงการออกแบบ 2 วินาทีแรกเป็นช่วงการเพิ่มแรง (Build Up) ส่วนในช่วง 3 วินาทีต่อมาเป็นช่วงที่ค่าแรงที่วัดได้มีความเสถียร (Steady State) จึงนำค่าแรงที่วัดได้ในช่วงนี้ไปคำนวณหาค่าเฉลี่ย ค่าเฉลี่ยที่ได้เป็นค่าความสามารถในการออกแบบ(หรือลาก)ในครั้งนั้นๆ และมีหน่วยเป็นนิวตัน

3.2.3 การวิเคราะห์ข้อมูลความสามารถในการออกแบบด้านและลากบนพื้นปูกระเบื้อง

- 3.2.3.1 คำนวณหาค่าเฉลี่ยและส่วนเบี่ยงเบนมาตรฐานของข้อมูลความสามารถในการออกแบบในการออกแบบแต่ละท่า จำนวน 12 ท่า
- 3.2.3.2 วิเคราะห์ความแปรปรวน(Analysis of Variance) ของข้อมูลความสามารถในการออกแบบ โดยใช้โปรแกรม Minitab ซึ่งมีตัวแปรตาม (Dependent Variables) 2 ตัว คือ 1) แรงดัน 2) แรงลาก ส่วนตัวแปรอิสระ (Independent Variables) มี 4 ตัว คือ 1) เพศ 2) ความสูงของจุดที่ออกแบบ 3) ระยะทาง และ 4) หมุนในแนวราบทองแขน รูปแบบการวิเคราะห์ความแปรปรวนเป็นแบบ Randomized Complete Block โดยมีผู้ถูกทดสอบเป็นบล็อก

3.3 การศึกษาความสามารถในการออกแบบด้านและลากบนพื้นลิ้น

- 3.3.1 เครื่องมือและอุปกรณ์ที่ใช้
 - 1) เครื่องมือวัดแรงสติ๊ก

2) ฐานรองรับผู้ถูกทดสอบซึ่งไม่ลื่นด้วยน้ำมันพิเศษเด็ก โดยมีค่าสัมประสิทธิ์แรงเสียดทานเท่ากับ 0.082

3.3.2 การเก็บข้อมูลความสามารถในการออกแรงดันและลากการออกแรงดันและลากบนพื้นลื่นนั้นกระทำโดยมีเงื่อนไขที่เหมือนกันจำนวน 24 เงื่อนไข ดังแสดงในตาราง 3.3 ซึ่งภาพแสดงท่าทางอยู่ในภาคผนวก ก. เงื่อนไขในการออกแรงดันและลากในบริเวณปฏิบัติงานมาจากการปัจจัยดังนี้

- 1) ความสูงของจุดที่ออกแรง (ระดับข้อนิ้ว ศอก และไหล่)
- 2) ระยะทาง (ครึ่งหนึ่งของระยะเหยียดแขน และ ระยะเหยียดแขน)
- 3) การวางเท้า (ปลายเท้าเสนอ กัน และ ปลายเท้าเขียง กัน) และ
- 4) ลักษณะของพื้นรองเท้า (พื้นลายขาว และพื้นลายหัก) ทั้งนี้ได้มีการเตรียมรองเท้าลายขนาดไว้ให้ผู้ถูกทดสอบได้เลือกสวม

ลำดับท่าทางที่ใช้ในการออกแรงเป็นไปโดยสุ่มทั้ง 24 ลำดับ

ตาราง 3.3 ท่าทางในการออกแรงดันและลากบนพื้นลื่น

ท่าทางที่	ความสูง	ระยะทาง	การวางเท้า	พื้นรองเท้า
1	ข้อนิ้ว	ครึ่งหนึ่งของระยะเหยียดแขน	ปลายเท้าเสนอ กัน	ลายขาว
2	ข้อนิ้ว	ครึ่งหนึ่งของระยะเหยียดแขน	ปลายเท้าเสนอ กัน	ลายหัก
3	ข้อนิ้ว	ครึ่งหนึ่งของระยะเหยียดแขน	ปลายเท้าเขียง กัน	ลายขาว
4	ข้อนิ้ว	ครึ่งหนึ่งของระยะเหยียดแขน	ปลายเท้าเขียง กัน	ลายหัก
5	ข้อนิ้ว	ระยะเหยียดแขน	ปลายเท้าเสนอ กัน	ลายขาว
6	ข้อนิ้ว	ระยะเหยียดแขน	ปลายเท้าเสนอ กัน	ลายหัก
7	ข้อนิ้ว	ระยะเหยียดแขน	ปลายเท้าเขียง กัน	ลายขาว
8	ข้อนิ้ว	ระยะเหยียดแขน	ปลายเท้าเขียง กัน	ลายหัก
9	ศอก	ครึ่งหนึ่งของระยะเหยียดแขน	ปลายเท้าเสนอ กัน	ลายขาว
10	ศอก	ครึ่งหนึ่งของระยะเหยียดแขน	ปลายเท้าเสนอ กัน	ลายหัก
11	ศอก	ครึ่งหนึ่งของระยะเหยียดแขน	ปลายเท้าเขียง กัน	ลายขาว
12	ศอก	ครึ่งหนึ่งของระยะเหยียดแขน	ปลายเท้าเขียง กัน	ลายหัก
13	ศอก	ระยะเหยียดแขน	ปลายเท้าเสนอ กัน	ลายขาว
14	ศอก	ระยะเหยียดแขน	ปลายเท้าเสนอ กัน	ลายหัก
15	ศอก	ระยะเหยียดแขน	ปลายเท้าเขียง กัน	ลายขาว

16	ศอก	ระยะเหยียดแขน	ปลายเท้าเขี้ยวกัน	ลายหยก
17	ให่ล	ครึ่งหนึ่งของระยะเหยียดแขน	ปลายเท้าเสมอ กัน	ลายขาว
18	ให่ล	ครึ่งหนึ่งของระยะเหยียดแขน	ปลายเท้าเสมอ กัน	ลายหยก
19	ให่ล	ครึ่งหนึ่งของระยะเหยียดแขน	ปลายเท้าเขี้ยว กัน	ลายขาว
20	ให่ล	ครึ่งหนึ่งของระยะเหยียดแขน	ปลายเท้าเขี้ยว กัน	ลายหยก
21	ให่ล	ระยะเหยียดแขน	ปลายเท้าเสมอ กัน	ลายขาว
22	ให่ล	ระยะเหยียดแขน	ปลายเท้าเสมอ กัน	ลายหยก
23	ให่ล	ระยะเหยียดแขน	ปลายเท้าเขี้ยว กัน	ลายขาว
24	ให่ล	ระยะเหยียดแขน	ปลายเท้าเขี้ยว กัน	ลายหยก

หลักในการออกแบบด้านและลักษณะดีบุนพื้นลื่นเป็นชั้นเดียวกับบันพื้นปูดิ

3.3.3 การวิเคราะห์ข้อมูลความสามารถในการออกแบบด้านและลักษณะบันพื้นปูดิ

3.3.3.1 คำนวณหาค่าเฉลี่ยและส่วนเบี่ยงเบนมาตรฐานของข้อมูลความสามารถในการออกแบบในการออกแบบแต่ละท่า จำนวน 24 ท่า

3.3.3.2 วิเคราะห์ความแปรปรวน(Analysis of Variance) ของข้อมูลความสามารถในการออกแบบ โดยใช้โปรแกรม Minitab ซึ่งมีตัวแปรตาม (Dependent Variables) 2 ตัว ดังนี้คือ 1) แรงดัน 2) แรงลาก ส่วนตัวแปรอิสระ (Independent Variables) มี 5 ตัว ดังนี้คือ 1) เพศ 2) ความสูงของจุดที่ออกแบบ 3) ระยะทาง 4) การวางเท้า และ 5) ลักษณะของพื้นรองเท้า รูปแบบการวิเคราะห์ความแปรปรวนเป็นแบบ Randomized Complete Block โดยมีผู้ถูกทดสอบเป็นบล็อก

บทที่ 4

ผลการวิจัย

บทนี้เป็นการรายงานผลการวิจัย โดยแบ่งเป็นหัวข้อตามลำดับดังนี้คือ คุณลักษณะทางกายภาพของผู้ถูกทดสอบ ความสามารถในการออกแรงดันและลากบนพื้นปกติ และความสามารถในการออกแรงดันและลากบนพื้นลื่น โดยการรายงานผลการวิจัยในแต่ละหัวข้อนั้น ประกอบด้วย การแสดงผลการวิเคราะห์ทางสถิติพร้อมกับการอภิปรายผลที่เกิดขึ้น

4.1 คุณลักษณะทางกายภาพของผู้ถูกทดสอบ

ตาราง 4.1 แสดงค่าเฉลี่ยและส่วนเบี่ยงเบนมาตรฐานของคุณลักษณะของผู้ถูกทดสอบจำนวน 34 คน เป็นเพศชาย 17 คน และเพศหญิง 17 คน ค่าเฉลี่ยของน้ำหนักของผู้ถูกทดสอบชายเท่ากับ 67.24 กิโลกรัมและค่าเฉลี่ยของน้ำหนักของผู้ถูกทดสอบหญิงเท่ากับ 56.86 กิโลกรัม ค่าเฉลี่ยของความสูงของผู้ถูกทดสอบชายเท่ากับ 170.04 เซนติเมตร ในขณะที่ค่าเฉลี่ยของความสูงของผู้ถูกทดสอบหญิงเท่ากับ 154.02 เซนติเมตร

ตาราง 4.1 แสดงค่าเฉลี่ยและส่วนเบี่ยงเบนมาตรฐานของคุณลักษณะของผู้ถูกทดสอบ

ลำดับ	สัดส่วนร่างกาย	เพศชาย		เพศหญิง	
		ค่าเฉลี่ย	ส่วนเบี่ยงเบนมาตรฐาน	ค่าเฉลี่ย	ส่วนเบี่ยงเบนมาตรฐาน
1	น้ำหนัก (กг.)	67.24	16.07	56.86	11.97
2	ความสูง (บีน) (ซม.)	170.04	5.44	154.02	5.29
3	ความสูงระดับไหล่(บีน) (ซม.)	141.50	5.64	128.01	4.78
4	ความสูงระดับศอก(บีน) (ซม.)	107.03	4.97	96.77	3.76
5	ความสูง (นั่ง) (ซม.)	130.60	3.18	124.83	3.32
6	ความสูงระดับไหล่(นั่ง) (ซม.)	103.23	2.61	98.18	3.75
7	ความสูงระดับศอก(นั่ง) (ซม.)	69.11	3.29	68.08	3.38
8	ความสูงจากพื้นดึงให้ขาพ้น (ซม.)	46.02	2.58	42.72	1.92
9	ความสูงจากพื้นดึงขาท่อ่นบน (หน้าตัก) (ซม.)	60.86	2.40	56.81	2.02
10	ความกว้างช่วงไหล่ (ซม.)	42.42	3.12	38.65	3.64
11	ความกว้างช่วงอก (วัดที่ด้านบน) (ซม.)	44.54	4.27	41.63	3.94
12	ความกว้างช่วงอก (วัดที่ไดร์กเร็ร์) (ซม.)	47.60	6.09	30.02	2.84
13	ความหนาของลำตัวช่วงอก (ซม.)	21.16	3.34	22.07	2.52
14	ความหนาของลำตัวช่วงท้อง (ซม.)	30.22	4.21	19.78	4.37

15	ระยะเหยียดของแขน (ไปด้านหน้า) (ซม.)	81.22	3.85	74.41	3.95
16	ระยะเหยียดของแขน (เอียงไว้ล๊บขวา) (ซม.)	93.06	6.03	83.90	4.50
17	ระยะจากก้นถึงใต้ขาพับ (ซม.)	43.03	2.07	41.22	2.03
18	ระยะจากก้นถึงขา (ซม.)	56.98	3.23	53.38	2.64
19	ระยะจากข้อศอกถึงปลายนิ้ว (ซม.)	46.18	2.22	42.08	1.86
20	ระยะจากข้อศอกถึงกลางฝ่ามือของกำมือ (ซม.)	37.11	9.08	31.82	2.45
21	ความกว้างของสะโพก (ซม.)	35.06	2.98	34.48	2.99
22	ความหนาของลำตัวช่วงท้อง (ซม.)	21.21	4.90	20.83	5.02
23	ความยาวเท้า (ซม.)	24.77	1.65	22.72	1.17
24	ความกว้างเท้า (ซม.)	9.98	0.63	13.44	17.88
25	ความกว้างของมือ (ซม.)	8.20	0.37	7.47	0.75
26	ความยาวของมือ (ซม.)	18.57	1.05	16.37	2.53
27	ระยะด้านในของกำมือ (ซม.)	3.30	0.53	4.16	3.49
28	ความหนาของมือ (ซม.)	5.99	2.56	6.08	1.93
29	ความยาวของศีรษะ (ซม.)	17.14	2.90	16.77	1.42
30	ความหนาของขาท่อนบน (ซม.)	13.79	2.59	13.49	2.01
31	ความกว้างโคนขาขณะนั่ง (ซม.)	31.86	2.96	31.86	3.19
32	แรงบีบนิ้วนิ้วมือ (กิโลกรัม)	10.66	4.47	7.94	2.52
33	แรงบีบมือ (กิโลกรัม)	41.69	13.42	27.75	8.62
34	เส้นรอบศีรษะ (ซม.)	54.13	5.20	55.01	9.71
35	เส้นรอบคอ (ซม.)	36.18	3.54	31.69	7.40
36	เส้นรอบเอว (ซม.)	80.74	13.82	76.78	11.99
37	เส้นรอบสะโพก (ซม.)	95.26	8.76	92.33	13.99
38	เส้นรอบแขนท่อนบนขณะเหยียดตรง (ซม.)	25.66	4.14	26.79	3.41
39	เส้นรอบแขนท่อนบนขณะออบแขนเต็มที่ (ซม.)	29.29	4.90	28.76	4.68
40	เส้นรอบขาท่อนล่าง(ยืน) (ซม.)	35.39	4.30	33.65	3.44
41	เส้นรอบขาท่อนล่าง(นั่ง) (ซม.)	36.36	4.62	34.44	3.64

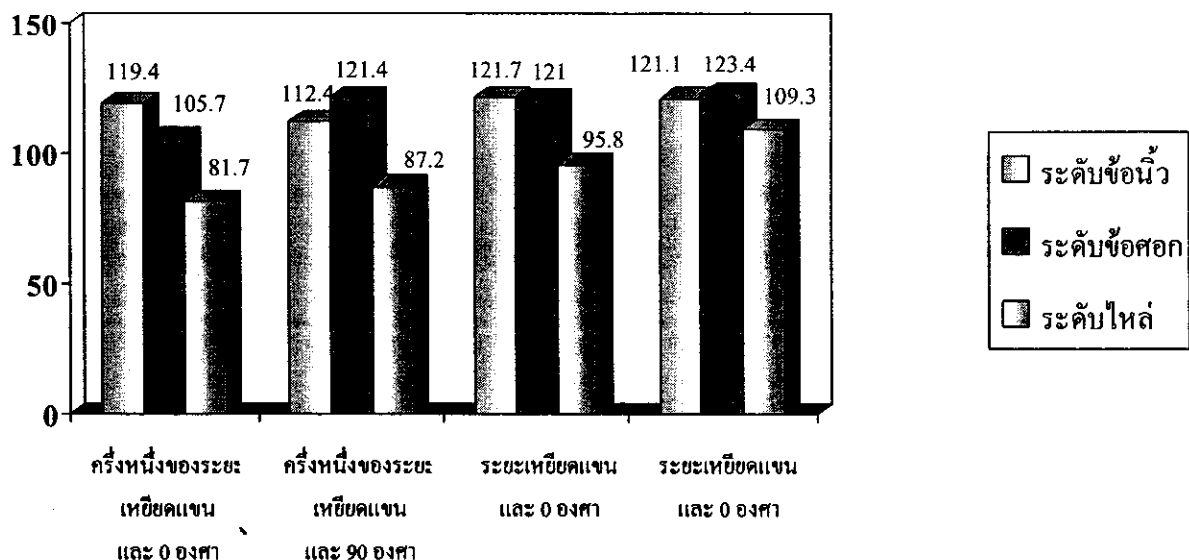
4.2 ความสามารถในการออกแบบดันบนพื้นปกติ

4.2.1 ความสามารถในการออกแบบดันบนพื้นปกติ

ผลการวิเคราะห์ค่าเฉลี่ยของความสามารถในการออกแบบดันบนพื้นปกติของผู้ถูกทดสอบชาย (ตาราง 4.2 และภาพ 4.1) พบว่า ค่าสูงสุดของความสามารถในการออกแบบดันบนพื้นปกติเท่ากับ 123.4 นิวตัน โดยเกิดจากการออกแบบที่ความสูงระดับข้อศอก และออกแบบในระยะเหยียดแขนทั้มทุน 90 องศา ส่วนค่าต่ำสุดของความสามารถในการออกแบบดันเท่ากับ 81.7 นิวตัน โดยเกิดจากการออกแบบที่ความสูงระดับไหล่และออกแบบที่ครึ่งหนึ่งของระยะเหยียดแขน ทั้มทุน 0 องศา ความสามารถในการออกแบบดันที่ความสูงระดับไหล่มีค่าน้อยกว่าความสามารถในการออกแบบดันที่ความสูงระดับข้อนิ้วและข้อศอก ความสามารถในการออกแบบดันในระยะเหยียดแขนมีค่าสูงกว่าความสามารถในการออกแบบดันที่ครึ่งหนึ่งของระยะเหยียดแขน

ตาราง 4.2 แสดงค่าเฉลี่ยและส่วนเบี่ยงเบนมาตรฐานของความสามารถในการออกแบบดันบนพื้นปกติของผู้ถูกทดสอบชาย (หน่วยเป็นนิวตัน)

ความสามารถ	ระยะทาง			
	ครึ่งหนึ่งของระยะเหยียดแขน		ระยะเหยียดแขน	
	นิ้ว		นิ้ว	
	0 องศา	90 องศา	0 องศา	90 องศา
ระดับข้อนิ้ว	119.4(49.09)	112.4(51.33)	121.7(44.09)	121.1(49.02)
ระดับข้อศอก	105.7(31.21)	121.4(46.69)	121.0(45.39)	123.4(45.33)
ระดับไหล่	81.7(23.06)	87.2(28.43)	95.8(42.35)	109.3(46.48)

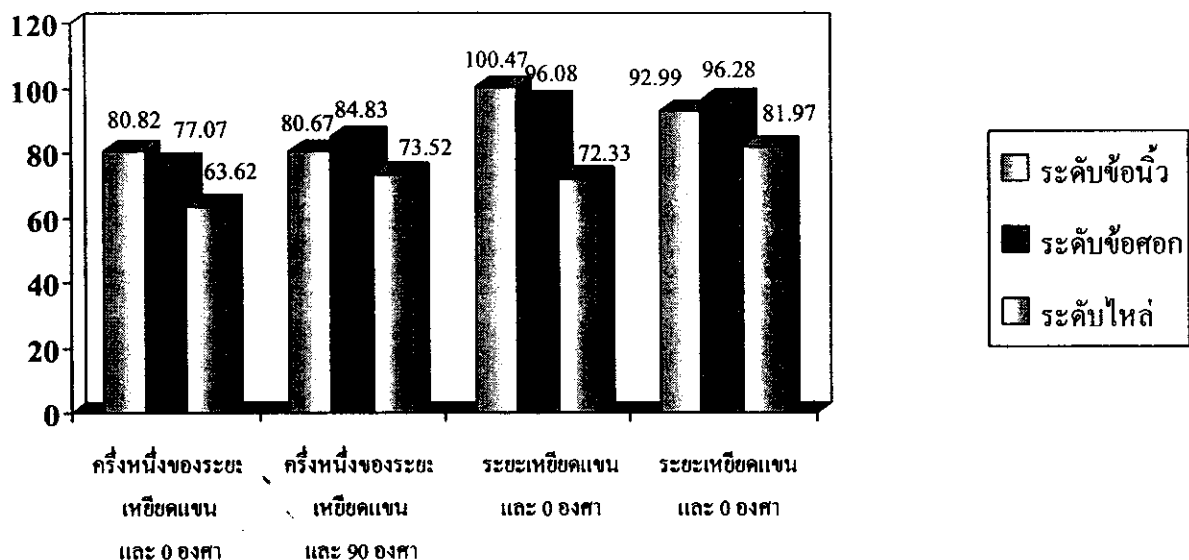


ภาพ 4.1 แสดงค่าเฉลี่ยและส่วนเบี่ยงเบนมาตรฐานของความสามารถในการอกรังดันบนพื้นปกติของผู้ถูกทดสอบชาย (หน่วยเป็นนิวตัน)

ค่าความสามารถในการอกรังดันบนพื้นปกติของผู้ถูกทดสอบหญิงดังปรากฏในตาราง 4.3 และภาพ 4.2 ค่าสูงสุดของความสามารถในการอกรังดันบนพื้นปกติเท่ากับ 100.47 นิวตัน โดยเกิดจากการอกรังด์ที่ความสูงระดับข้อนิ้ว และอกรังด์ในระยะเหยียดแขนทั่วบุน 0 องศา ส่วนค่าต่ำสุดของความสามารถในการอกรังดันเท่ากับ 63.62 นิวตัน โดยเกิดจากการอกรังด์ที่ความสูงระดับไหปลาร้ามีค่าน้อยกว่าความสามารถในการอกรังดันที่ความสูงระดับข้อนิ้วและข้อศอก ความสามารถในการอกรังดันในระยะเหยียดแขนมีค่าสูงกว่าความสามารถในการอกรังดันที่ครึ่งหนึ่งของระยะเหยียดแขน ซึ่งแนวโน้มของความสามารถในการอกรังดันในระดับความสูงและบุนต่างๆนั้นสอดคล้องกับผลของผู้ถูกทดสอบชาย

ตาราง 4.3 แสดงค่าเฉลี่ยและส่วนเบี่ยงเบนมาตรฐานของความสามารถในการอกรังดันบนพื้นปกติของผู้ถูกทดสอบหญิง (หน่วยเป็นนิวตัน)

ความสามารถ	ระยะทาง			
	ครึ่งหนึ่งของระยะเหยียดแขน		ระยะเหยียดแขน	
	บุน		บุน	
	0 องศา	90 องศา	0 องศา	90 องศา
ระดับข้อนิ้ว	80.82(36.6)	80.67(42.38)	100.47(47.36)	92.99(47.09)
ระดับข้อศอก	77.07(18.46)	84.83(33.36)	96.08(44.35)	96.28(48.69)
ระดับไหล่	63.62(19.76)	73.52(26.7)	72.33(27.11)	81.97(32.1)



ภาพ 4.2 แสดงค่าเฉลี่ยและส่วนเบี่ยงเบนมาตรฐานของความสามารถในการออกแบบดันบนพื้นปกติของผู้ถูกทดสอบหญิง (หน่วยเป็นนิวตัน)

ตาราง 4.4 ผลการวิเคราะห์ความแปรปรวนของความสามารถในการออกแบบดันบนพื้นปกติ

แหล่งความแปรปรวน	องศาอิสระ	ผลรวมของค่ากำลังสอง (Adjusted sum of square)	ค่าเฉลี่ยของค่ายกกำลังสอง (Mean square)	ค่าอฟ	ค่าพี
เพศ	1	15.2498	15.2498	176.68	0.000**
ระดับความสูง	2	7.4816	3.7408	43.34	0.000**
ระบบเหตุขคแทน	1	2.6426	2.6426	30.62	0.000**
นุ่ม	1	0.288	0.2882	3.34	0.068
ผู้ถูกทดสอบ	16	56.7095	3.5443	41.06	0.000**
เพศ*ระดับความสูง	2	0.1265	0.0632	0.73	0.481
เพศ*ระบบเหตุขคแทน	1	0.0382	0.0382	0.44	0.506
เพศ*นุ่ม	1	0.0003	0.0003	0	0.955
ระดับความสูง*ระบบเหตุขคแทน	2	0.03	0.015	0.17	0.84
ระดับความสูง*นุ่ม	2	0.9004	0.4502	5.22	0.006**
ระบบเหตุขคแทน*นุ่ม	1	0.0169	0.0169	0.2	0.659
เพศ*ระดับความสูง*ระบบเหตุขคแทน	2	0.2421	0.1211	1.4	0.247
เพศ*ระดับความสูง*นุ่ม	2	0.0492	0.0246	0.28	0.752
เพศ*ระบบเหตุขคแทน*นุ่ม	1	0.0742	0.0742	0.86	0.354
ระดับความสูง*ระบบเหตุขคแทน*นุ่ม	2	0.1244	0.0622	0.72	0.487
เพศ*ระดับความสูง*ระบบเหตุขคแทน*นุ่ม	2	0.0355	0.0178	0.21	0.814
ความคลาดเคลื่อน	776	66.9781	0.0863		
ผลรวม	815				

4.2.2 ผลการวิเคราะห์ความแปรปรวนของความสามารถในการออกแรงดัน

ในการวิเคราะห์ความแปรปรวนนี้ข้อมูลความต้องการเดือนมีการแยกแบบปกติและความคลาดเคลื่อนมีค่าคงที่ แต่เมื่อทำการตรวจสอบข้อมูลความสามารถในการออกแรงดันและลากตามข้อมูลความต้องการเดือนไม่ได้มีการแยกแบบปกติ จึงต้องทำการแปลงข้อมูลเป็นค่าลอการิทึมธรรมชาติ จากนั้นทำการตรวจสอบค่าข้อมูลที่ทำการแปลงแล้วพบว่าเป็นไปตามข้อมูลความต้องการเดือน ดังนั้นผลการวิเคราะห์ความแปรปรวนของความสามารถในการออกแรงดันและลากในงานวิจัยนี้เป็นผลที่เกิดขึ้นจากข้อมูลที่เป็นค่าลอการิทึมธรรมชาติ

ผลการวิเคราะห์ความแปรปรวนของความสามารถในการออกแรงดันพื้นปกติแสดงในตาราง

4.4 ปรากฏว่า เพศ ระดับความสูง ระยะเหยียดแขน และ อัตราการหายใจระหว่างระดับความสูงกับนุ่ม มีผลต่อความสามารถในการออกแรงดันอย่างมีนัยสำคัญยิ่ง ($p < 0.01$)

4.2.3 ความสามารถในการออกแรงลากบนพื้นปกติ

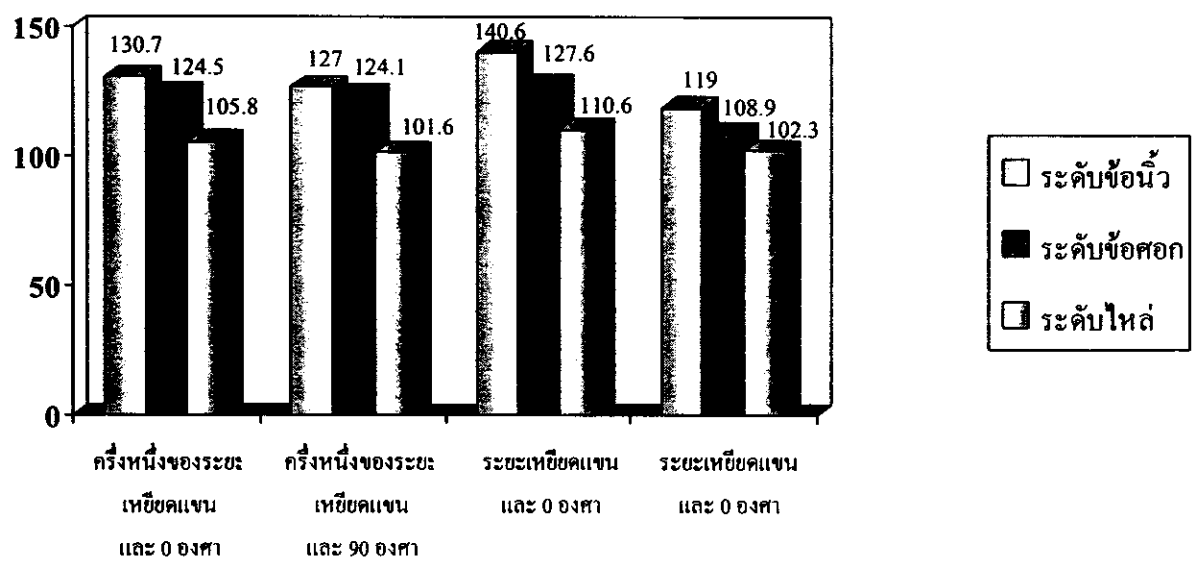
ความสามารถในการออกแรงลากบนพื้นปกติของผู้ถูกทดสอบชายและหญิงแสดงในตาราง

4.5 และ 4.6 ตามลำดับ จากตาราง 4.5 และภาพ 4.3 พบว่าค่าสูงสุดของความสามารถในการออกแรงลากบนพื้นปกติของผู้ถูกทดสอบชายเท่ากับ 140.6 นิวตัน โดยเกิดจากการออกแรงที่ความสูงระดับขึ้นน้ำ และออกแรงในระยะเหยียดแขนทำนุ่ม 0 องศา ส่วนค่าต่ำสุดของความสามารถในการออกแรงลากผู้ถูกทดสอบชายเท่ากับ 101.6 นิวตัน โดยวัดที่ความสูงระดับใกล้และออกแรงที่ครึ่งหนึ่งของระยะเหยียดแขน ทำนุ่ม 90 องศา ความสามารถในการออกแรงลากผู้ถูกทดสอบชายที่ความสูงระดับใกล้และมีค่าน้อยกว่าความสามารถในการออกแรงลากที่ความสูงระดับขึ้นน้ำและข้อศอก

โดยส่วนใหญ่แล้ว ความสามารถในการออกแรงลากผู้ถูกทดสอบชายในระยะเหยียดแขนมีค่าสูงกว่าความสามารถในการออกแรงลากที่ครึ่งหนึ่งของระยะเหยียดแขน ยกเว้นการออกแรงลากที่ระดับขึ้นน้ำและข้อศอกเมื่อทำนุ่ม 90 องศา ซึ่งผลปรากฏว่าความสามารถในการออกแรงลากผู้ถูกทดสอบชายในระยะเหยียดแขนมีค่าต่ำกว่าความสามารถในการออกแรงลากที่ครึ่งหนึ่งของระยะเหยียดแขน

ตาราง 4.5 แสดงค่าเฉลี่ยและส่วนเบี่ยงเบนมาตรฐานของความสามารถในการออกแบบลากบันพื้นปกติของผู้อุปถัมภ์สอนชาย (หน่วยเป็นนิวตัน)

ความสูง	ระยะทาง			
	ครึ่งหนึ่งของระยะเหยียดแขน		ระยะเหยียดแขน	
	มุน		มุน	
	0 องศา	90 องศา	0 องศา	90 องศา
ระดับข้อนิ้ว	130.7(67.91)	127(55.08)	140.6(62.86)	119(52.06)
ระดับข้อศอก	124.5(46.19)	124.1(39.38)	127.6(50.5)	108.9(39.31)
ระดับไหล่	105.8(43.46)	101.6(36.34)	110.6(48.08)	102.3(44.98)

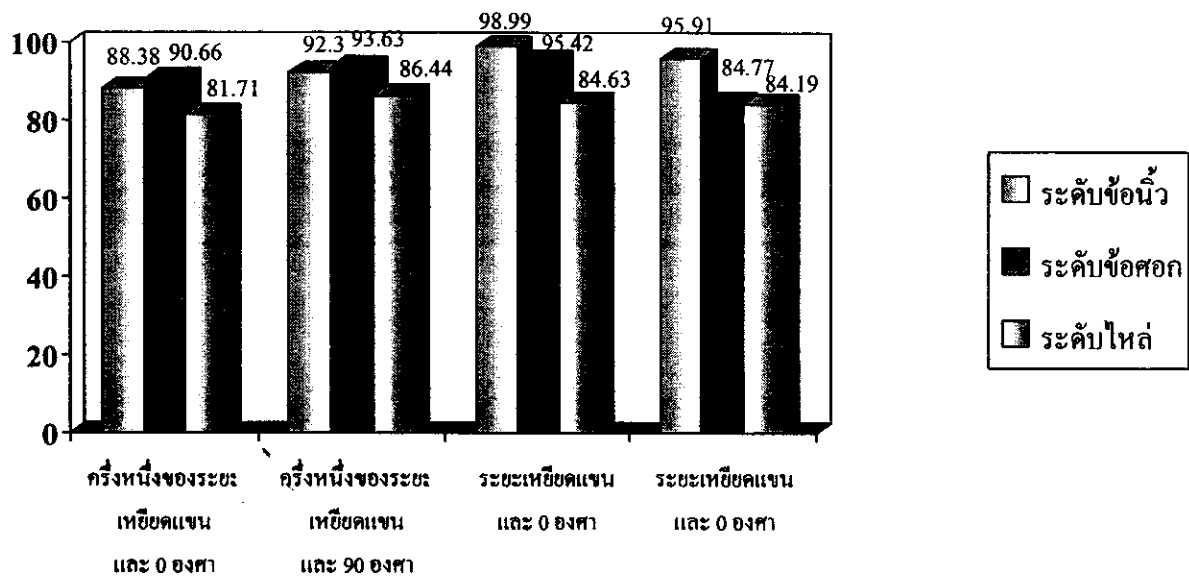


ภาพ 4.3 แสดงค่าเฉลี่ยและส่วนเบี่ยงเบนมาตรฐานของความสามารถในการออกแบบลากบันพื้นปกติของผู้อุปถัมภ์สอนชาย (หน่วยเป็นนิวตัน)

ตาราง 4.6 และภาพ 4.4 แสดงให้เห็นว่าค่าสูงสุดของความสามารถในการออกแบบลากบนพื้นปกติของผู้ถูกทดสอบหญิงเท่ากับ 98.99 นิวตัน โดยเกิดจากการออกแบบที่ความสูงระดับขึ้อนิ้ว และออกแบบในระบบเหยียดแขนทำมุน 0 องศา ส่วนค่าต่ำสุดของความสามารถในการออกแบบลากผู้ถูกทดสอบหญิงเท่ากับ 81.71 นิวตัน โดยเกิดจากการออกแบบที่ความสูงระดับใกล้และออกแบบที่ครึ่งหนึ่งของระบบเหยียดแขน ทำมุน 90 องศา ค่าความสามารถในการออกแบบลากสูงสุดและต่ำสุดของผู้ถูกทดสอบชายและหญิงนั้นเกิดจากการออกแบบในลักษณะท่าทางเดียวกัน ความสามารถในการออกแบบลากผู้ถูกทดสอบหญิงที่ความสูงระดับใกล้ มีค่าน้อยกว่าความสามารถในการออกแบบลากที่ความสูงระดับขึ้อนิ้วและข้อศอก ความสามารถในการออกแบบลากผู้ถูกทดสอบหญิงในระบบเหยียดแขนมีค่าสูงกว่าความสามารถในการออกแบบลากที่ครึ่งหนึ่งของระบบเหยียดแขน ยกเว้นการออกแบบลากที่ระดับข้อศอกและใกล้มือทำมุน 90 องศา ซึ่งผลปรากฏว่าความสามารถในการออกแบบลากผู้ถูกทดสอบหญิงในระบบเหยียดแขนมีค่าต่ำกว่าความสามารถในการออกแบบลากที่ครึ่งหนึ่งของระบบเหยียดแขน

ตาราง 4.6 แสดงค่าเฉลี่ยและส่วนเบี่ยงเบนมาตรฐานของความสามารถในการออกแบบลากบนพื้นปกติของผู้ถูกทดสอบหญิง (หน่วยเป็นนิวตัน)

ความสูง	ระยะทาง			
	ครึ่งหนึ่งของระบบเหยียดแขน		ระบบเหยียดแขน	
	มุน		มุน	
	0 องศา	90 องศา	0 องศา	90 องศา
ระดับขึ้อนิ้ว	88.38(42.15)	92.3(43.77)	98.99(41.81)	95.91(42.28)
ระดับข้อศอก	90.66(29.99)	93.63(39.15)	95.42(46.31)	84.77(36.59)
ระดับใกล้	81.71(32.28)	86.44(33.13)	84.63(24.8)	84.19(36.59)



ภาพ 4.4 แสดงค่าเฉลี่ยและส่วนเบี่ยงเบนมาตรฐานของความสามารถในการออกแรงลากบนพื้นปกติของผู้สูงอายุทดสอบทั้ง 4 หน่วยเป็นนิวตัน

4.2.4 ผลการวิเคราะห์ความแปรปรวนของความสามารถในการออกแรงลาก

ผลการวิเคราะห์ความแปรปรวนของความสามารถในการออกแรงลากแสดงในตาราง 4.7 เป็นดังนี้ เพศ ระดับความสูง และ อันตรกิริยะระหว่างระยะเหยียดแขนกับมุน มีผลต่อความสามารถในการออกแรงลากอย่างมีนัยสำคัญยิ่ง ($p < 0.01$)

ตาราง 4.7 ผลการวิเคราะห์ความแปรปรวนของความสามารถในการออกแรงลากบนพื้นปกติ

แหล่งความแปรปรวน	องศาอิสร	ผลรวมของค่ากำลังสอง (Adjusted sum of square)	ค่าเฉลี่ยของค่าอกกำลังสอง (Mean square)	ค่าoef	ค่าt
เพศ	1	14.1442	14.1442	168.02	0.000**
ระดับความสูง	2	2.8244	1.4122	16.78	0.000**
ระยะเหยียดแขน	1	0.0026	0.0026	0.03	0.861
มุน	1	0.2461	0.2461	2.92	0.088
ผู้สูงอายุทดสอบ	16	53.4082	3.338	39.65	0.000**
เพศ*ระดับความสูง	2	0.4815	0.2408	2.86	0.058
เพศ*ระยะเหยียดแขน	1	0.0674	0.0674	0.8	0.371
เพศ*มุน	1	0.2044	0.2044	2.43	0.12
ระดับความสูง*ระยะเหยียดแขน	2	0.3481	0.174	2.07	0.127
ระดับความสูง*มุน	2	0.0454	0.0227	0.27	0.764
ระยะเหยียดแขน*มุน	1	0.5702	0.5702	6.77	0.009**

เพศ*ระดับความสูง*ระบบเหยียดแขน	2	0.0263	0.0131	0.16	0.855
เพศ*ระดับความสูง*มุม	2	0.0448	0.0224	0.27	0.766
เพศ*ระบบเหยียดแขน*มุม	1	0.0161	0.0161	0.19	0.662
ระดับความสูง*ระบบเหยียดแขน*มุม	2	0.0605	0.0302	0.36	0.698
เพศ*ระดับความสูง*ระบบเหยียดแขน*มุม	2	0.0192	0.0096	0.11	0.892
ความคลาดเคลื่อน	776	65.3244	0.0842		
ผลรวม	815				

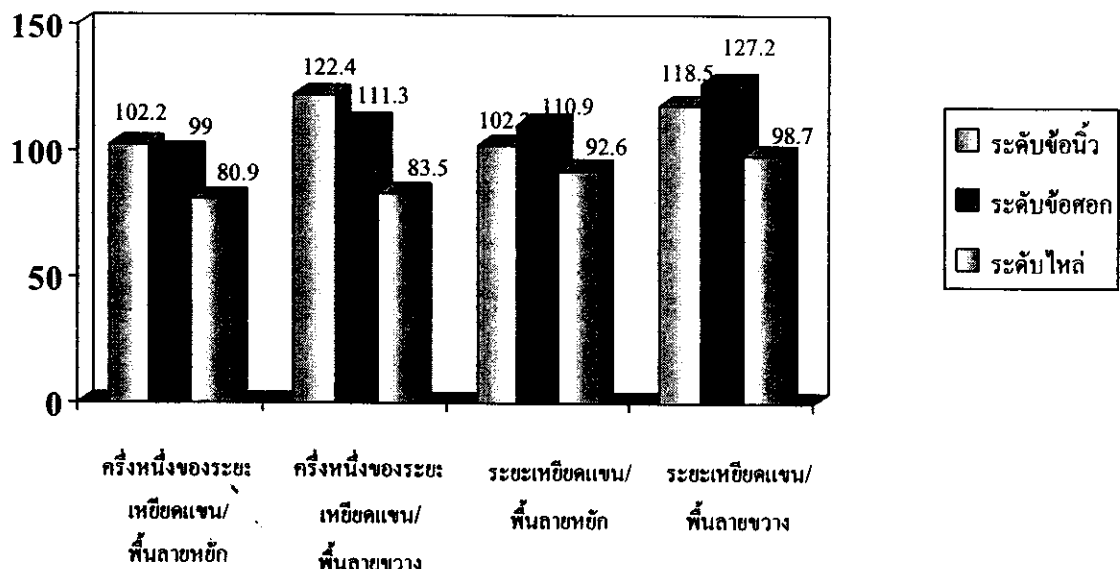
4.3 ความสามารถในการออกแรงดันและอาบน้ำพื้นลิ่น

4.3.1 ผลการวัดค่าความสามารถในการออกแรงดันบนพื้นลิ่น

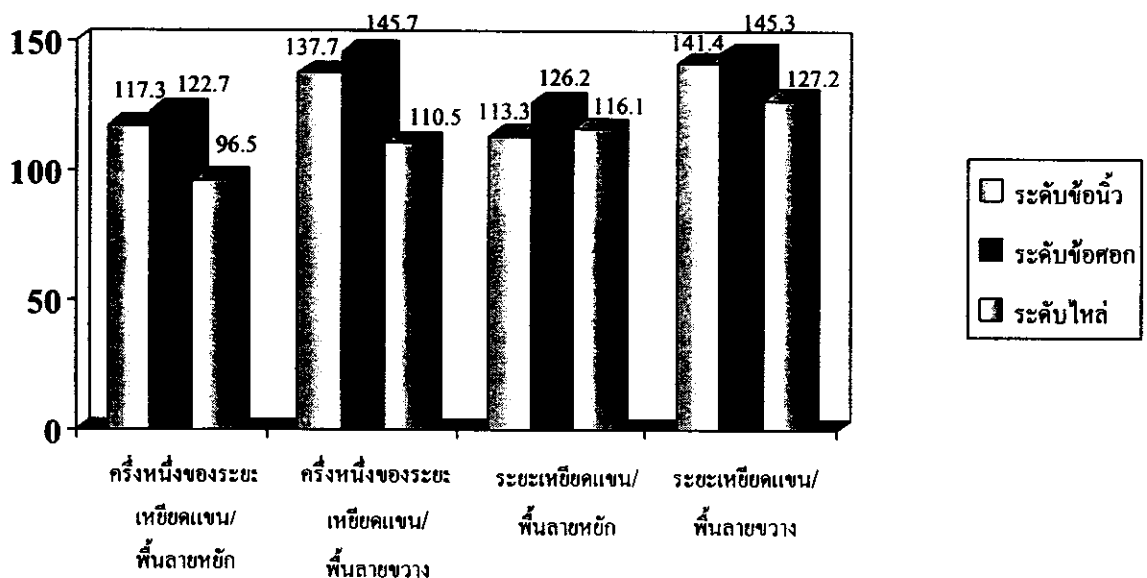
ผลการวัดค่าความสามารถในการออกแรงดันที่ระดับความสูงต่างๆบนพื้นลิ่นของผู้ถูกทดสอบชายได้แสดงไว้ในตาราง 4.8 ค่าสูงสุดของความสามารถในการออกแรงดันบนพื้นลิ่นของผู้ถูกทดสอบชายเท่ากับ 145.7 นิวตัน ซึ่งเกิดจากการอกร่างที่ครึ่งหนึ่งของระบบเหยียดแขนและความสูงในระดับศอก โดยส่วนรองเท้าที่มีพื้นลายหัวใจและให้ปลายเท้าเมื่องกัน ส่วนค่าต่ำสุดของความสามารถในการอกร่างดันของผู้ถูกทดสอบชายเท่ากับ 80.9 นิวตัน ซึ่งเกิดจากการอกร่างที่ครึ่งหนึ่งของระบบเหยียดแขนและความสูงในระดับไหล่ โดยส่วนรองเท้าที่มีพื้นลายหัวใจและให้ปลายเท้าเสมอ กัน

ตาราง 4.8 แสดงค่าเฉลี่ยและส่วนเบี่ยงเบนมาตรฐานของความสามารถในการอกร่างดันบนพื้นลิ่นของผู้ถูกทดสอบชาย (หน่วยเป็นนิวตัน)

ความสูง	ระยะทาง	การวางเท้า			
		ปลายเท้าเสมอ กัน		ปลายเท้าเมื่อง กัน	
		พื้นรองเท้า		พื้นรองเท้า	
		ลายหัวใจ	ลายหัวใจ	ลายหัวใจ	ลายหัวใจ
ระดับข้อนิ้ว	ครึ่งหนึ่งของระบบเหยียดแขน	102.2(42.06)	122.4(42.29)	117.3(40.57)	137.7(56.9)
	ระบบเหยียดแขน	102.2(33.44)	118.5(44.5)	113.3(41.13)	141.4(46.65)
ระดับข้อศอก	ครึ่งหนึ่งของระบบเหยียดแขน	99(31.7)	111.3(39.06)	122.7(44.64)	145.7(59.18)
	ระบบเหยียดแขน	110.9(46.4)	127.2(51.55)	126.2(42.66)	145.3(60.65)
ระดับไหล่	ครึ่งหนึ่งของระบบเหยียดแขน	80.9(29.31)	83.5(31.2)	96.5(32.16)	110.5(39.56)
	ระบบเหยียดแขน	92.6(38.17)	98.7(39.58)	116.1(45.76)	127.2(52)



ภาพ 4.5 แสดงค่าเฉลี่ยและส่วนเบี่ยงเบนมาตรฐานของความสามารถในการอกรังดันบนพื้นลื่นของผู้ถูกทดสอบรายเมื่อปลายเท้าเสมอกัน (หน่วยเป็นนิวตัน)



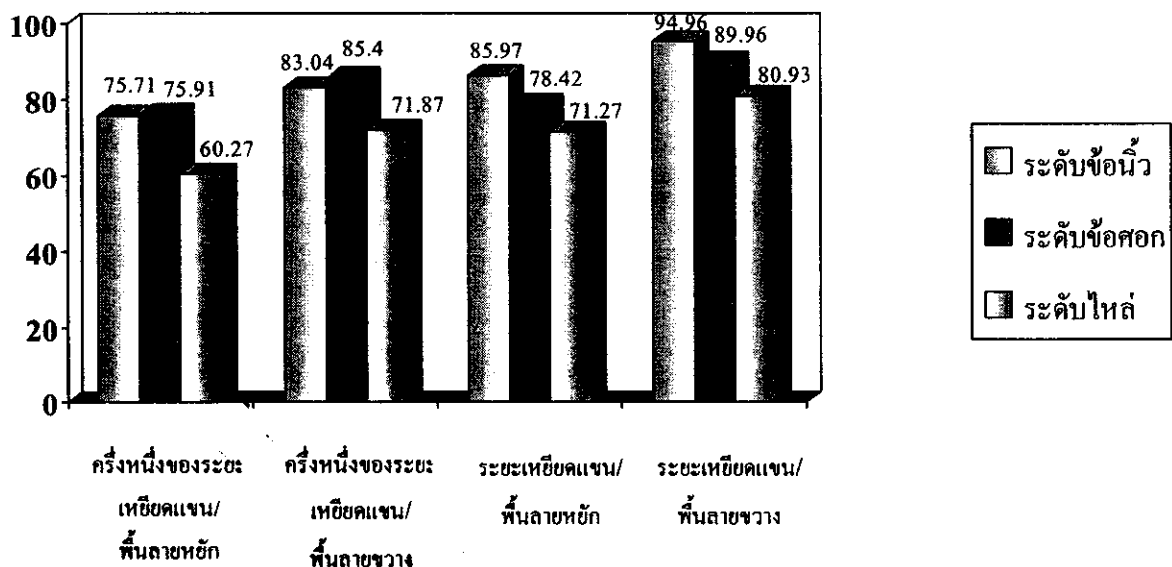
ภาพ 4.6 แสดงค่าเฉลี่ยและส่วนเบี่ยงเบนมาตรฐานของความสามารถในการอกรังดันบนพื้นลื่นของผู้ถูกทดสอบรายเมื่อปลายเท้าเขียงกัน (หน่วยเป็นนิวตัน)

ตาราง 4.9 แสดงให้เห็นว่าค่าสูงสุดของความสามารถในการออกแบบดันบนพื้นลื่นของผู้ถูกทดสอบหญิงเท่ากับ 108.66 นิวตัน ซึ่งเกิดจากการออกแบบที่ระบบเหยียดแขนและความสูงในระดับศอก โดยสามารถเท้าที่มีพื้นลายหัวใจและไหป้ายเท้าเชื่อมกัน ส่วนค่าต่ำสุดของความสามารถในการออกแบบดันบนพื้นลื่นของผู้ถูกทดสอบหญิงเท่ากับ 60.27 นิวตัน ซึ่งเกิดจากการออกแบบที่ครึ่งหนึ่งของระบบเหยียดแขนและความสูงในระดับไหล่ โดยสามารถเท้าที่มีพื้นลายหยักและไหป้ายเท้าเสมอ กัน

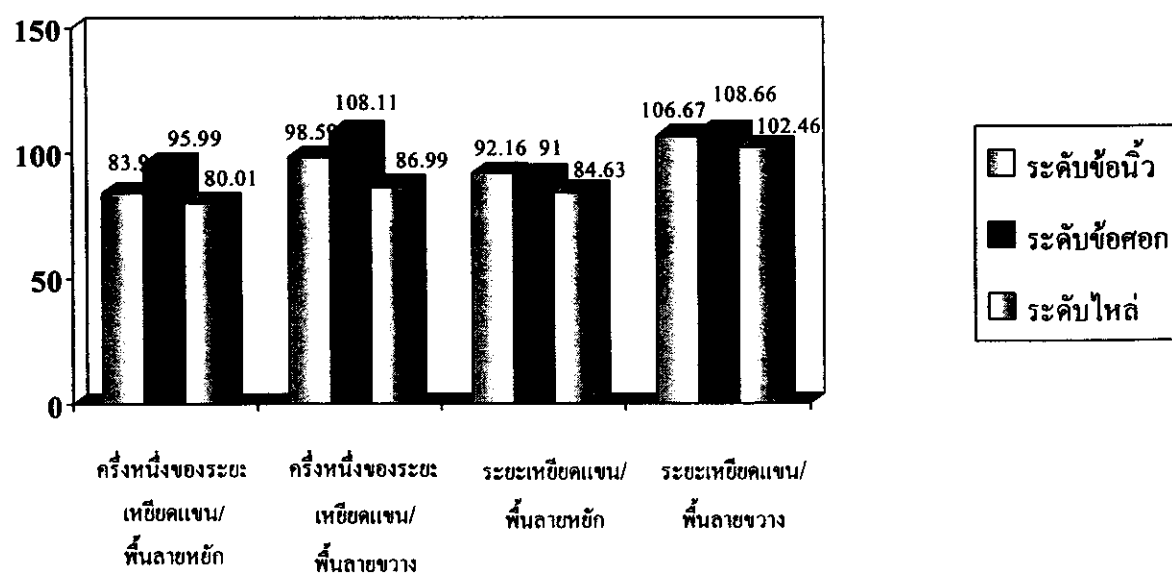
ตาราง 4.9 แสดงค่าเฉลี่ยและส่วนเบี่ยงเบนมาตรฐานของความสามารถในการออกแบบดันบนพื้นลื่นของผู้ถูกทดสอบหญิง (หน่วยเป็นนิวตัน)

ความสูง	ระยะทาง	การวางแผนเท้า			
		ปลายเท้าเสมอ กัน		ปลายเท้าเชื่อมกัน	
		พื้นรองเท้า		พื้นรองเท้า	
		ลายหยัก	ลายหัวใจ	ลายหยัก	ลายหัวใจ
ระดับข้อเข่า	ครึ่งหนึ่งของระบบเหยียดแขน	75.71(18.5)	83.04(19.68)	83.99(20.27)	98.59(31.06)
	ระยะเหยียดแขน	85.98(26.44)	94.96(25.51)	92.16(20.74)	106.67(29.66)
ระดับข้อศอก	ครึ่งหนึ่งของระบบเหยียดแขน	75.91(17.64)	85.4(21.44)	95.99(23.57)	108.11(31.67)
	ระยะเหยียดแขน	78.42(17.65)	89.96(22.19)	91(21.74)	108.66(33.38)
ระดับไหล่	ครึ่งหนึ่งของระบบเหยียดแขน	60.27(17.92)	71.87(21.56)	80.01(21.48)	86.99(21.54)
	ระยะเหยียดแขน	71.27(19.87)	80.93(20.89)	84.63(20.03)	102.46(28.75)

จากตาราง 4.8 และ 4.9 พบว่า การออกแบบดันบนพื้นลื่นโดยใช้รองเท้าที่มีพื้นลายหัวใจทำให้ค่าความสามารถในการออกแบบดันนี้ค่อนข้างกว่าการใช้รองเท้าที่มีพื้นลายหยัก นอกจานี้การวางแผนป้ายเท้าเชื่อมกันทำให้ค่าความสามารถในการออกแบบดันนี้ค่อนข้างกว่าการวางแผนป้ายเท้าเสมอ กัน



ภาพ 4.7 แสดงค่าเฉลี่ยและส่วนเบี่ยงเบนมาตรฐานของความสามารถในการอกร่างกายบนพื้นลื่นของผู้ถูกทดสอบหุยิงเมื่อปลายเท้าเสมอกัน (หน่วยเป็นนิวตัน)



ภาพ 4.8 แสดงค่าเฉลี่ยและส่วนเบี่ยงเบนมาตรฐานของความสามารถในการอกร่างกายบนพื้นลื่นของผู้ถูกทดสอบหุยิงเมื่อปลายเท้าเยื่องกัน (หน่วยเป็นนิวตัน)

4.3.2 ผลการวิเคราะห์ความแปรปรวนของความสามารถในการออกแรงดันบนพื้นลีน

ผลการวิเคราะห์ความแปรปรวนของค่าความสามารถในการออกแรงดันบนพื้นลีนที่แสดงในตาราง 4.10 พบว่า เพศ ระดับความสูง ระยะเหยียดแขน ลักษณะการวางเท้า และ พื้นรองเท้า มีผลต่อค่าความสามารถในการออกแรงดันบนพื้นลีนอย่างมีนัยสำคัญยิ่ง ($p < 0.01$)

ตาราง 4.10 ผลการวิเคราะห์ความแปรปรวนของความสามารถในการออกแรงดันบนพื้นลีน

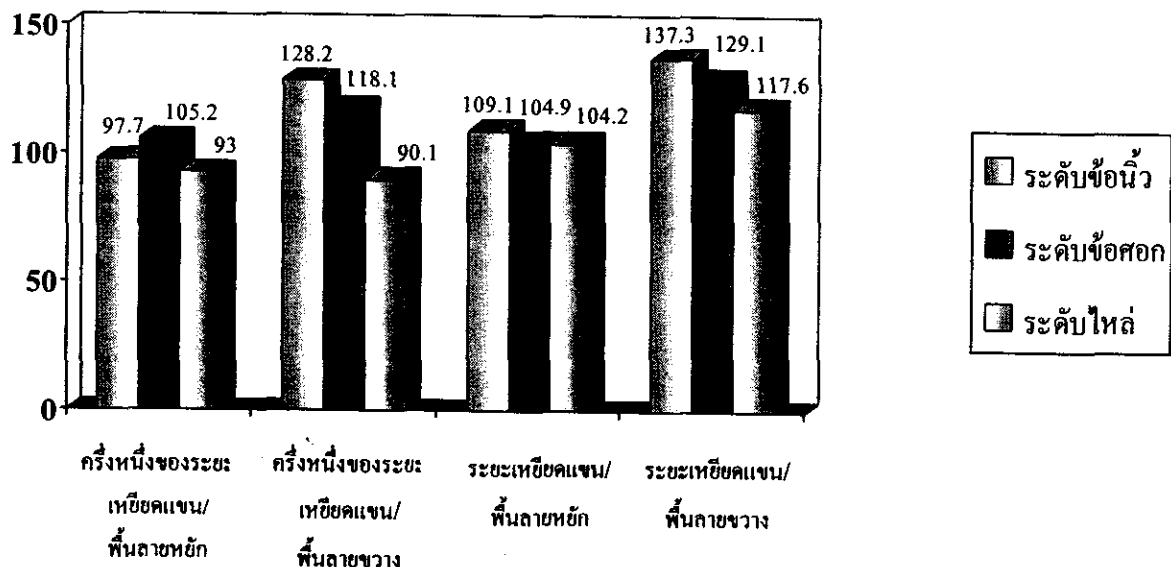
แหล่งความแปรปรวน	องศาอิสระ	ผลรวมของตัวถ่วงสอง (Adjusted sum of square)	ค่าเฉลี่ยของตัวถ่วงสอง (Mean square)	ค่าออยฟ์	ค่าพี
เพศ	1	21.3651	21.365	292.78	0.000**
ระดับความสูง	2	9.6751	4.8375	66.29	0.000**
ระยะเหยียดแขน	1	2.3415	2.3415	32.09	0.000**
ลักษณะการวางเท้า	1	13.5548	13.5548	185.75	0.000***
รองเท้า	1	6.6448	6.6448	91.06	0.000**
ผู้อุปกรณ์กีฬา	16	67.7291	4.2331	58.01	0.000**
เพศ*ระดับความสูง	2	0.2413	0.1206	1.65	0.192
เพศ*ระยะเหยียดแขน	1	0.0187	0.0187	0.26	0.613
เพศ*ลักษณะการวางเท้า	1	0.0031	0.0031	0.04	0.838
เพศ*รองเท้า	1	0.0105	0.0105	0.14	0.704
ระดับความสูง*ระยะเหยียดแขน	2	0.8033	0.4017	5.5	0.004
ระดับความสูง*ลักษณะการวางเท้า	2	0.7804	0.3902	5.35	0.005**
ระดับความสูง*รองเท้า	2	0.1066	0.0533	0.73	0.482
ระยะเหยียดแขน*ลักษณะการวางเท้า	1	0.129	0.129	1.77	0.184
ระยะเหยียดแขน*รองเท้า	1	0.016	0.016	0.22	0.64
ลักษณะการวางเท้า*รองเท้า	1	0.023	0.023	0.32	0.574
เพศ*ระดับความสูง*ระยะเหยียดแขน	2	0.4037	0.2018	2.77	0.063
เพศ*ระดับความสูง*ลักษณะการวางเท้า	2	0.0124	0.0062	0.08	0.919
เพศ*ระดับความสูง*รองเท้า	2	0.2556	0.1278	1.75	0.174
เพศ*ระยะเหยียดแขน*ลักษณะการวางเท้า	1	0.0127	0.0127	0.17	0.676
เพศ*ระยะเหยียดแขน*รองเท้า	1	0.0092	0.0092	0.13	0.722
เพศ*ลักษณะการวางเท้า*รองเท้า	1	0.0035	0.0035	0.05	0.826
ระดับความสูง*ระยะเหยียดแขน*ลักษณะการวางเท้า	2	0.0796	0.0398	0.55	0.58
ระดับความสูง*ระยะเหยียดแขน*รองเท้า	2	0.0042	0.0021	0.03	0.972
ระดับความสูง*ลักษณะการวางเท้า*รองเท้า	2	0.0048	0.0024	0.03	0.968
ระยะเหยียดแขน*ลักษณะการวางเท้า*รองเท้า	1	0.0153	0.0153	0.21	0.647
เพศ*ระดับความสูง*ระยะเหยียดแขน*ลักษณะการวางเท้า	2	0.0136	0.0068	0.09	0.911
เพศ*ระดับความสูง*ระยะเหยียดแขน*รองเท้า	2	0.0093	0.0047	0.06	0.938
เพศ*ระดับความสูง*ลักษณะการวางเท้า*รองเท้า	2	0.0559	0.028	0.38	0.682
เพศ*ระยะเหยียดแขน*ลักษณะการวางเท้า*รองเท้า	1	0.0128	0.0128	0.18	0.676
ระดับความสูง*ระยะเหยียดแขน*ลักษณะการวางเท้า*รองเท้า	2	0.036	0.018	0.25	0.781
เพศ*ระดับความสูง*ระยะเหยียดแขน*ลักษณะการวางเท้า*รองเท้า	2	0.1939	0.097	1.33	0.265
ความคลาดเคลื่อน	1568	114.4215	0.073		
ผลรวม	1631				

4.3.3 ผลการวัดค่าความสามารถในการออกแรงลากบนพื้นลื่น

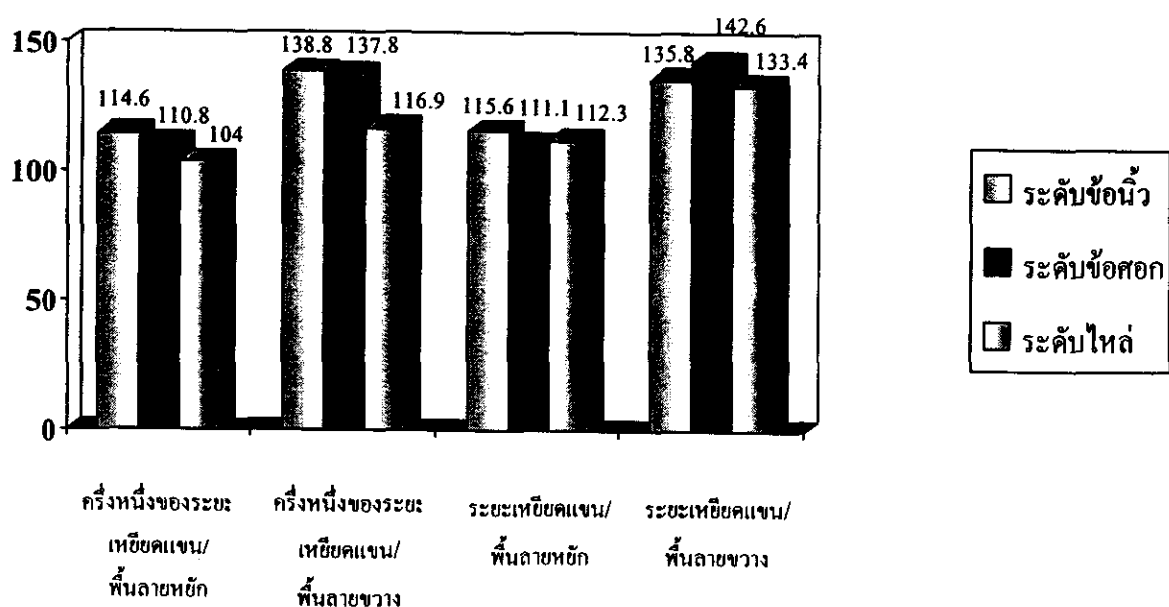
จากตาราง 4.11 ส่วนค่าต่ำสุดของความสามารถในการออกแรงลากของผู้ถูกทดสอบชายเท้ากับ 90.1 นิวตัน ซึ่งเกิดจากการออกแรงที่ครึ่งหนึ่งของระยะเหยียดแขนและความสูงในระดับใกล้โคนร่องเท้าที่มีพื้นลายขวางและให้ปลายเท้าเสนอ กัน

ตาราง 4.11 แสดงค่าเฉลี่ยและส่วนเบี่ยงเบนมาตรฐานของความสามารถในการออกแรงลากบนพื้นลื่นของผู้ถูกทดสอบชาย (หน่วยเป็นนิวตัน)

ความสูง	ระยะทาง	การวางแผนเท้า			
		ปลายเท้าตามอัน		ปลายเท้าอ่อนกัน	
		พื้นรองเท้า	พื้นรองเท้า	ลายหยัก	ลายขวาง
ระดับข้อนิ้ว	ครึ่งหนึ่งของระยะเหยียดแขน	97.7(45.02)	128.2(52.95)	114.6(48.94)	138.8(62.34)
	ระยะเหยียดแขน	109.1(39.85)	137.3(58.85)	115.6(41.7)	135.8(55.44)
ระดับข้อซอก	ครึ่งหนึ่งของระยะเหยียดแขน	105.2(31.01)	118.1(38.31)	110.8(36.84)	137.8(50.92)
	ระยะเหยียดแขน	104.9(36.71)	129.1(52.44)	111.1(42.2)	142.6(62.6)
ระดับใกล้โคนร่องเท้า	ครึ่งหนึ่งของระยะเหยียดแขน	93(39.88)	90.1(31.71)	104(39.21)	116.9(41.44)
	ระยะเหยียดแขน	104.2(40.25)	117.6(41.2)	112.3(42.78)	133.4(50.60)



ภาพ 4.9 แสดงค่าเฉลี่ยและส่วนเบี่ยงเบนมาตรฐานของความสามารถในการอกร่างกายบนพื้นลื่นของผู้ถูกทดสอบชายเมื่อปลายเท้าเหยียบกัน (หน่วยเป็นนิวตัน)



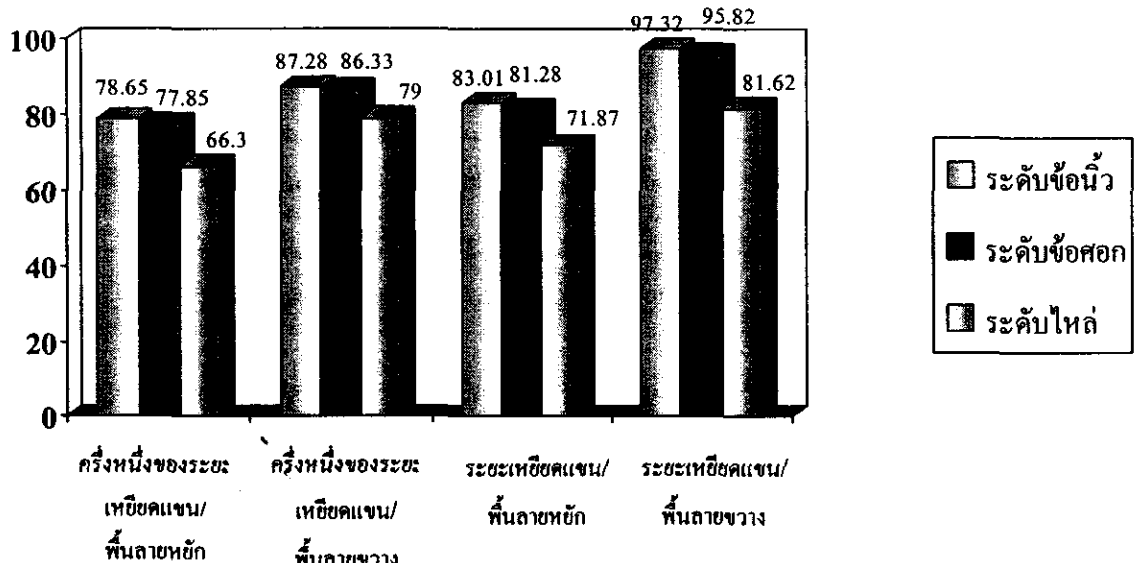
ภาพ 4.10 แสดงค่าเฉลี่ยและส่วนเบี่ยงเบนมาตรฐานของความสามารถในการอกร่างกายบนพื้นลื่นของผู้ถูกทดสอบชายเมื่อปลายเท้าเยื่องกัน (หน่วยเป็นนิวตัน)

ผลของความสามารถในการออกแบบลากบันพื้นลีนของผู้ถูกทดสอบหญิงแสดงในตาราง 4.12 ค่าสูงสุดของความสามารถในการออกแบบลากบันพื้นลีนของผู้ถูกทดสอบหญิงเท่ากับ 99.86 นิวตัน ซึ่งเกิดจากการออกแบบที่ครึ่งหนึ่งของระบบไฮบิคแทนและความสูงในระดับข้อนิ้ว โดยส่วนรองเท้าที่มีพื้นลายหัวใจและให้ปลายเท้าเยื่องกัน ส่วนค่าต่ำสุดของความสามารถในการออกแบบลากของผู้ถูกทดสอบหญิงเท่ากับ 66.30 นิวตัน ซึ่งเกิดจากการออกแบบที่ครึ่งหนึ่งของระบบไฮบิคแทนและความสูงในระดับไหล่ โดยส่วนรองเท้าที่มีพื้นลายหยักและให้ปลายเท้าเสมอ กัน

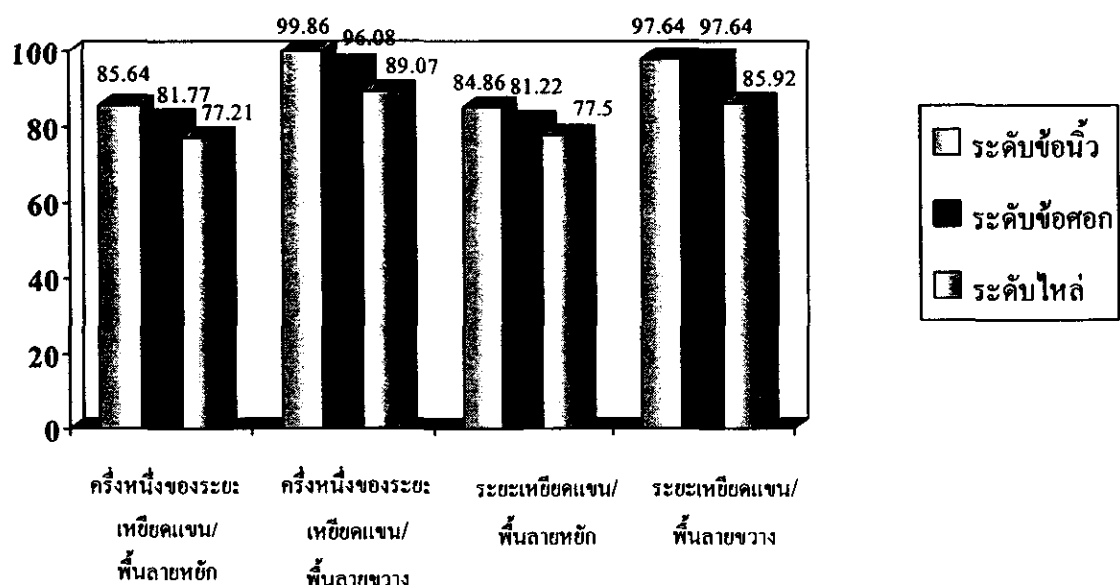
ตาราง 4. 12 แสดงค่าเฉลี่ยและส่วนเบี่ยงเบนมาตรฐานของความสามารถในการออกแบบลากบันพื้นลีนของผู้ถูกทดสอบหญิง (หน่วยเป็นนิวตัน)

ความสูง	ระบบทาง	การวางแผนเท้า			
		ปลายเท้าเสมอ กัน		ปลายเท้าเยื่อง กัน	
		พื้นรองเท้า		พื้นรองเท้า	
		ลายหยัก	ลายหัวใจ	ลายหยัก	ลายหัวใจ
ระดับข้อนิ้ว	ครึ่งหนึ่งของระบบไฮบิคแทน	78.65(19.44)	87.28(31.23)	85.64(24.6)	99.86(37.85)
	ระบบไฮบิคแทน	83.01(21.77)	97.32(30.64)	84.86(23.5)	97.64(25.88)
ระดับข้อศอก	ครึ่งหนึ่งของระบบไฮบิคแทน	77.85(18.04)	86.33(22.96)	81.77(14.77)	96.08(25.59)
	ระบบไฮบิคแทน	81.28(21.04)	95.82(26.7)	81.22(20.14)	97.64(27.54)
ระดับไหล่	ครึ่งหนึ่งของระบบไฮบิคแทน	66.3(25.07)	79(26.41)	77.21(18.54)	89.07(24.25)
	ระบบไฮบิคแทน	71.87(19.83)	81.62(25.16)	77.5(23.85)	85.92(26.35)

จากตาราง 4.11 และ 4.12 พบว่า การออกแบบลากบันพื้นลีนโดยใช้รองเท้าที่มีพื้นลายหัวใจให้ค่าความสามารถในการออกแบบดันนีค่อนข้างกว่าการใช้รองเท้าที่มีพื้นลายหยัก โดยส่วนใหญ่แล้ว การวางแผนป้ายเท้าเยื่องกันทำให้ค่าความสามารถในการออกแบบลากบันนีค่อนข้างกว่าการวางแผนป้ายเท้าเสมอ กัน ยกเว้นการออกแบบลากของเพศหญิงในระบบไฮบิคแทน ซึ่งค่าความสามารถในการออกแบบลาก เมื่อวางแผนป้ายเท้าเสมอ กัน เมื่อวางแผนป้ายเท้าเยื่องกัน มีค่าใกล้เคียงกัน



ภาพ 4.11 แสดงค่าเฉลี่ยและส่วนเบี่ยงเบนมาตรฐานของความสามารถในการออกแรงลากบนพื้นลื่นของผู้ทดสอบหญิงเมื่อปลายเท้าเสมอกัน (หน่วยเป็นนิวตัน)



ภาพ 4.12 แสดงค่าเฉลี่ยและส่วนเบี่ยงเบนมาตรฐานของความสามารถในการออกแรงลากบนพื้นลื่นของผู้ทดสอบหญิงเมื่อปลายเท้ายึดกัน (หน่วยเป็นนิวตัน)

4.3.4 ผลการวิเคราะห์ความแปรปรวนของความสามารถในการออกแรงลากบนพื้นลื่น

ผลการวิเคราะห์ความแปรปรวนของค่าความสามารถในการออกแรงลากบนพื้นลื่นแสดงในตาราง 4.13 เป็นดังนี้ เพศ ระดับความสูง ระยะเหยียดแขน ลักษณะการวางเท้า และ พื้นรองเท้า มีผลต่อค่าความสามารถในการออกแรงลากบนพื้นลื่นอย่างมีนัยสำคัญยิ่ง ($p < 0.01$)

ตาราง 4.13 ผลการวิเคราะห์ความแปรปรวนของความสามารถในการออกแรงลากบนพื้นลื่น

แหล่งความแปรปรวน	องศาอิสระ	ผลรวมของค่าก้าวสั้งสอง (Adjusted sum of square)	ค่าเฉลี่ยของค่าก้าวสั้งสอง (Mean square)	ค่าอef	ค่า F
เพศ	1	31.7128	31.7128	391.74	0.000**
ระดับความสูง	2	4.8918	2.4459	30.21	0.000**
ระยะเหยียดแขน	1	1.0996	1.0996	13.58	0.000**
ลักษณะการวางเท้า	1	2.9665	2.9665	36.64	0.000**
รองเท้า	1	9.3458	9.3458	115.44	0.000**
ผู้สูงอายุ	16	63.8039	3.9877	49.26	0.000**
เพศ*ระดับความสูง	2	0.0311	0.0155	0.19	0.825
เพศ*ระยะเหยียดแขน	1	0.1563	0.1563	1.93	0.165
เพศ*ลักษณะการวางเท้า	1	0.0657	0.0657	0.81	0.368
เพศ*รองเท้า	1	0.0758	0.0758	0.94	0.333
ระดับความสูง*ระยะเหยียดแขน	2	0.3167	0.1584	1.96	0.142
ระดับความสูง*ลักษณะการวางเท้า	2	0.3843	0.1921	2.37	0.094
ระดับความสูง*รองเท้า	2	0.1607	0.0803	0.99	0.371
ระยะเหยียดแขน*ลักษณะการวางเท้า	1	6796	6.796	8.39	0.004**
ระยะเหยียดแขน*รองเท้า	1	0.0221	0.0221	0.27	0.601
ลักษณะการวางเท้า*รองเท้า	1	0.0195	0.0195	0.24	0.623
เพศ*ระดับความสูง*ระยะเหยียดแขน	2	0.4068	0.2034	2.51	0.081
เพศ*ระดับความสูง*ลักษณะการวางเท้า	2	0.0075	0.0037	0.05	0.955
เพศ*ระดับความสูง*รองเท้า	2	0.2154	0.1077	1.33	0.265
เพศ*ระยะเหยียดแขน*ลักษณะการวางเท้า	1	0.0077	0.0077	0.1	0.758
เพศ*ระยะเหยียดแขน*รองเท้า	1	0.002	0.002	0.03	0.874
เพศ*ลักษณะการวางเท้า*รองเท้า	1	0.0062	0.0062	0.08	0.783
ระดับความสูง*ระยะเหยียดแขน*ลักษณะการวางเท้า	2	0.064	0.032	0.4	0.674
ระดับความสูง*ระยะเหยียดแขน*รองเท้า	2	0.0619	0.0309	0.38	0.683
ระดับความสูง*ลักษณะการวางเท้า*รองเท้า	2	0.1247	0.0623	0.77	0.463
ระยะเหยียดแขน*ลักษณะการวางเท้า*รองเท้า	1	0.032	0.032	0.4	0.53
เพศ*ระดับความสูง*ระยะเหยียดแขน*ลักษณะการวางเท้า	2	0.0267	0.0134	0.17	0.848
เพศ*ระดับความสูง*ระยะเหยียดแขน*รองเท้า	2	0.2009	0.1005	1.24	0.289
เพศ*ระดับความสูง*ลักษณะการวางเท้า*รองเท้า	2	0.2261	0.113	1.4	0.248
เพศ*ระยะเหยียดแขน*ลักษณะการวางเท้า*รองเท้า	1	0.0055	0.0055	0.07	0.795
ระดับความสูง*ระยะเหยียดแขน*ลักษณะการวางเท้า*รองเท้า	2	0.0025	0.0012	0.02	0.985
เพศ*ระดับความสูง*ระยะเหยียดแขน*ลักษณะการวางเท้า*รองเท้า	2	0.0539	0.0269	0.33	0.717
ความคลาดเคลื่อน	1568	126.9372	0.081		
ผลรวม	1631				

บทที่ 5

สรุปและข้อเสนอแนะ

5.1 สรุป

การศึกษาวิจัยครั้งนี้มีวัตถุประสงค์ดังนี้คือ 1) เพื่อชี้บ่งปัจจัยเสี่ยงที่มีผลกระทำด่อความสามารถในการออกแรงดันและลาก 2) เพื่อออกแบบวิธีการทำงานดันและลากที่ปลอดภัย และ 3) เพื่อสร้างฐานข้อมูลค่าความสามารถในการออกแรงดันและลากของคนไทย งานวิจัยนี้ได้ดำเนินการทดลองภายใต้ห้องปฏิบัติการการยาสตร์ มหาวิทยาลัยเทคโนโลยีสุรนารี เพื่อเก็บข้อมูลดังนี้คือ 1) คุณลักษณะทางกายภาพของผู้ถูกทดสอบ โดยใช้เครื่องชั่งน้ำหนัก เครื่องวัดสัดส่วนร่างกาย เครื่องวัดแรงบีบมือ และ เครื่องวัดแรงบีบนิ่วมือ 2) ความสามารถในการออกแรงดันและลากบนพื้นปกติ โดยใช้เครื่องมือวัดแรงสถิติ์ และ 3) ความสามารถในการออกแรงดันและลากบนพื้นลื่น โดยใช้เครื่องมือวัดแรงสถิติ์และฐานรองรับผู้ถูกทดสอบที่ზ่อมด้วยน้ำมัน

ผู้ถูกทดสอบที่เข้าร่วมในงานวิจัยครั้งนี้จำนวน 34 คน เป็นเพศชาย 17 คน และเพศหญิง 17 คน และทุกคนมีประสบการณ์การทำงานในภาคอุตสาหกรรม การเก็บข้อมูลความสามารถในการออกแรงดันและลากบนพื้นปกติกระทำในท่าทางที่เหมือนกันจำนวน 12 ท่า ท่าทางที่ใช้ในการออกแรงดันและลากในบริเวณปฏิบัติงานมากจากปัจจัยดังนี้ 1) ความสูงของจุดที่ออกแรง (ระดับข้อนิ้ว ศอก และไหล่) 2) ระยะทาง (ครึ่งหนึ่งของระยะเหยียดแขน และ ระยะเหยียดแขน) และ 3) นุ่มนิ่วนวลร่างกาย (0 และ 90 องศา) ส่วนการเก็บข้อมูลความสามารถในการออกแรงดันและลากบนพื้นลื่นนั้นกระทำโดยมีเงื่อนไขที่เหมือนกันจำนวน 24 เงื่อนไข ซึ่งเกิดขึ้นจากปัจจัยดังนี้คือ 1) ความสูงของจุดที่ออกแรง (ระดับข้อนิ้ว ศอก และไหล่) 2) ระยะทาง (ครึ่งหนึ่งของระยะเหยียดแขน และ ระยะเหยียดแขน) 3) การวางเท้า (ปลายเท้าสเมอกัน และ ปลายเท้าเยื่องกัน) และ 4) ลักษณะของพื้นรองเท้า (พื้นลายหัวใจ และพื้นลายหัก) หลังจากนั้นนำข้อมูลความสามารถในการออกแรงหลังจากนั้นนำข้อมูลความสามารถในการออกแรงมาวิเคราะห์ทางสถิติโดยการวิเคราะห์ความแปรปรวน ผลที่ได้จากการทดลองสรุปได้ดังนี้

1) ค่าเฉลี่ยของน้ำหนักของผู้ถูกทดสอบชายเท่ากับ 67.24 กิโลกรัมและค่าเฉลี่ยของน้ำหนักของผู้ถูกทดสอบหญิงเท่ากับ 56.86 กิโลกรัม ค่าเฉลี่ยของความสูงของผู้ถูกทดสอบชายเท่ากับ 170.04 เซนติเมตร ในขณะที่ค่าเฉลี่ยของความสูงของผู้ถูกทดสอบหญิงเท่ากับ 154.02 เซนติเมตร

2) ค่าสูงสุดของความสามารถในการออกแรงดันบนพื้นปกติของเพศชายเท่ากับ 123.4 นิวตัน โดยเกิดจากการออกแรงที่ความสูงระดับข้อนิ้วศอก และออกแรงในระยะเหยียดแขนทำมุน 90 องศา ค่าสูงสุดของความสามารถในการออกแรงดันบนพื้นปกติของเพศหญิงเท่ากับ 100.47 นิวตัน โดยเกิดจากการออกแรงที่ความสูงระดับข้อนิ้ว และออกแรงในระยะเหยียดแขนทำมุน 0 องศา

3) เพศ ระดับความสูง ระยะเหยียดแขน และ อัันตรกิริยะระหว่างระดับความสูงกับมุน มีผลต่อค่าความสามารถในการออกแรงดันบนพื้นป กติอย่างมีนัยสำคัญยิ่ง

4) ค่าสูงสุดของความสามารถในการออกแรงลากบนพื้นป กติของผู้ถูกทดสอบชายเท่ากับ 140.6 นิวตัน ส่วนค่าสูงสุดของความสามารถในการออกแรงลากบนพื้นป กติของผู้ถูกทดสอบหญิงเท่ากับ 98.99 นิวตัน โดยเกิดจากการออกแรงที่ความสูงระดับข้อนี้ แล้วออกแรงในระยะเหยียดแขน ทำมุม 0 องศา

5) เพศ ระดับความสูง และ อัันตรกิริยะระหว่างระยะเหยียดแขนกับมุน มีผลต่อค่าความสามารถในการออกแรงลากบนพื้นป กติอย่างมีนัยสำคัญยิ่ง

6) ค่าสูงสุดของความสามารถในการออกแรงดันบนพื้นลื่นของผู้ถูกทดสอบชายเท่ากับ 145.7 นิวตัน ซึ่งเกิดจากการออกแรงที่ครึ่งหนึ่งของระยะเหยียดแขนและความสูงในระดับศอก โดยส่วนรองเท้าที่มีพื้นลายหัวใจและให้ปลายเท้าเยื่องกัน ค่าสูงสุดของความสามารถในการออกแรงดันบนพื้นลื่นของผู้ถูกทดสอบหญิงเท่ากับ 108.66 นิวตัน ซึ่งเกิดจากการออกแรงที่ระยะเหยียดแขนและความสูงในระดับศอก โดยส่วนรองเท้าที่มีพื้นลายหัวใจและให้ปลายเท้าเยื่องกัน

7) เพศ ระดับความสูง ระยะเหยียดแขน ลักษณะการวางเท้า และ พื้นรองเท้า มีผลต่อค่าความสามารถในการออกแรงดันบนพื้นลื่นอย่างมีนัยสำคัญยิ่ง

8) ค่าสูงสุดของความสามารถในการออกแรงลากบนพื้นลื่นของผู้ถูกทดสอบชายเท่ากับ 138.8 นิวตัน ซึ่งเกิดจากการออกแรงที่ครึ่งหนึ่งของระยะเหยียดแขนและความสูงในระดับข้อนี้ โดยส่วนรองเท้าที่มีพื้นลายหัวใจและให้ปลายเท้าเยื่องกัน ค่าสูงสุดของความสามารถในการออกแรงลากบนพื้นลื่นของผู้ถูกทดสอบหญิงเท่ากับ 99.86 นิวตัน ซึ่งเกิดจากการออกแรงที่ครึ่งหนึ่งของระยะเหยียดแขนและความสูงในระดับข้อนี้ โดยส่วนรองเท้าที่มีพื้นลายหัวใจและให้ปลายเท้าเยื่องกัน

9) เพศ ระดับความสูง ระยะเหยียดแขน ลักษณะการวางเท้า และ พื้นรองเท้า มีผลต่อค่าความสามารถในการออกแรงลากบนพื้นลื่นอย่างมีนัยสำคัญยิ่ง

5.2 ข้อเสนอแนะ

1) ในการศึกษาครั้งต่อไปควรเพิ่มจำนวนผู้ถูกทดสอบให้มากขึ้น นอกจากนี้ควรขยายขอบเขตของอาชีพของผู้ถูกทดสอบให้กว้างขึ้น เช่น พนักงานอุตสาหกรรมก่อสร้าง เนื่องจากอาชีพดังกล่าวต้องออกแรงในขณะปฏิบัติงาน

2) งานวิจัยควรศึกษาความสามารถในการออกแรงแบบพลวัตแล้วนำผลที่ได้มาเปรียบเทียบกับความสามารถแบบสถิติ ทั้งนี้เนื่องจากการทำงานยกเป็นลักษณะการทำงานแบบพลวัต

5.3 วิธีการนำผลไปใช้ในการปฎิบัติและป้องกันการบาดเจ็บ

1) ในการออกแบบดันและลากบนพื้นปกตินี้ควรออกแบบที่ระดับข้อนิ้วและข้อศอกเนื่องจากความสามารถในการออกแบบดันและลากที่ความสูงระดับข้อนิ้วและข้อศอกมีค่ามากกว่าความสามารถในการออกแบบดันที่ความสูงระดับไหล่ นอกเหนือจากการออกแบบดันที่ความสูงระดับไหล่จะทำให้ผู้ออกแบบโน้มตัวไปด้านหน้ามากขึ้น ในขณะที่การออกแบบลากที่ความสูงระดับไหล่จะทำให้ผู้ออกแบบพยายามใช้น้ำหนักตัวช่วยโดยการเออนตัวไปด้านหลังมากขึ้น ซึ่งอาจส่งผลให้เสียการทรงตัวในขณะออกแบบ

2) การออกแบบดันควรกระทำในลักษณะเหยียดแขนเพื่อให้เกิดการส่งผ่านแรงที่เกิดจากกล้ามเนื้อขา หลังและลำตัว ไปยังมือได้อย่างเต็มที่ ส่วนการออกแบบลากควรกระทำในลักษณะของแขนเล็กน้อยเพื่อให้สามารถใช้แรงของกล้ามเนื้อแขนเข้าช่วย เช่น กล้ามเนื้อใบเซ็น

3) ในการออกแบบดันบนพื้นลิ้น จุดที่ทำการออกแบบควรอยู่ที่ครึ่งหนึ่งของระยะเหยียดแขนและความสูงในระดับศอก โดยรวมรองเท้าที่มีพื้นลายขาวและให้ปลายเท้าเยื่องกัน การออกแบบในระยะเหยียดแขนและที่ระดับสูงจะทำให้ทรงตัวยากและเสี่ยงที่จะลิ้นลิ้น

4) ในการออกแบบดันและลากบนพื้นลิ้น ควรใช้รองเท้าที่มีพื้นลายขาว เนื่องจากรองเท้าที่มีพื้นลายขาวจะเกาะพื้นมากกว่ารองเท้าที่มีพื้นลายหยัก ทำให้ผู้ออกแบบสามารถออกแบบดันและลากเมื่อใช้รองเท้าที่มีพื้นลายหยัก

5) การวางปลายเท้าเยื่องกันในขณะออกแบบดันจะทำให้มีการทรงตัวที่ดีและค่าความสามารถในการออกแบบนี้ค่ามากกว่าการวางปลายเท้าเสมอ กัน ส่วนการออกแบบบนพื้นลิ้น ควรออกแบบที่ครึ่งหนึ่งของระยะเหยียดแขนและความสูงในระดับไหล่ โดยให้ปลายเท้าเสมอ กัน

6) ในการพื้นที่มีการทำงานออกแบบดันและลากในระยะเวลาการทำงาน 8 ชั่วโมงนั้น ไม่มีควรออกแบบเกิน 15% ของค่าความสามารถการออกแบบดันและลากสูงสุด เพื่อป้องกันการล้าของกล้ามเนื้อและการบาดเจ็บ

บรรณานุกรม

ประกันสังคม สำนักงาน (2542). รายงานประจำปี 2542. กรุงเทพมหานคร, โรงพิมพ์โอเอสพรินต์ จำกัด

ประกันสังคม สำนักงาน (2543). รายงานประจำปี 2543. กรุงเทพมหานคร, โรงพิมพ์โอเอสพรินต์ จำกัด

ประกันสังคม สำนักงาน (2544). รายงานประจำปี 2544. กรุงเทพมหานคร, โรงพิมพ์โอเอสพรินต์ จำกัด

Chaffin, D.B. and Anderson, G.B.J. (1991). Occupational Biomechanics (2nd ed.), New York, Wiley and Sons.

Ciriello, V.M., Snook, S.H. and Hughes, G.J. (1993). Further studies of psychophysically determined maximum acceptable weights and forces, Human Factors, 35, 175-186.

Hoozemans, M.J.M., VAN DER BEEK, A.J., Frings-Dresen, M.H.W., VAN Dijk, F.J.H., and VAN DER Woude, L.H.V. (1998). Pushing and pulling in relation to musculoskeletal disorders: a review of risk factors, Ergonomics, 21(6), 757-781.

Konz, S. (1995). Work Design: Industrial Ergonomics, 4th Edition, Publishing Horizons, Arizona.

Lavender, S.A., Li, YI, and Anderson, G.B.J. (1998). Trunk muscle use during pulling task: Effects of a lifting belt and footing conditions. Human factors, 40(1), 159-172.

MacKinnon, S.N. (1998). Isometric pull forces in the sagittal plane, Applied Ergonomics, 29(5), 319-324.

Manning, D.P. (1983). Deaths and incidents caused by slipping, tripping and falling, Ergonomics, 26, 3-9

Mital, Al, Nicholson, A.S., and Ayoub, M.M. (1993). A guide to Manual Materials Handling, Taylor & Francis, London.

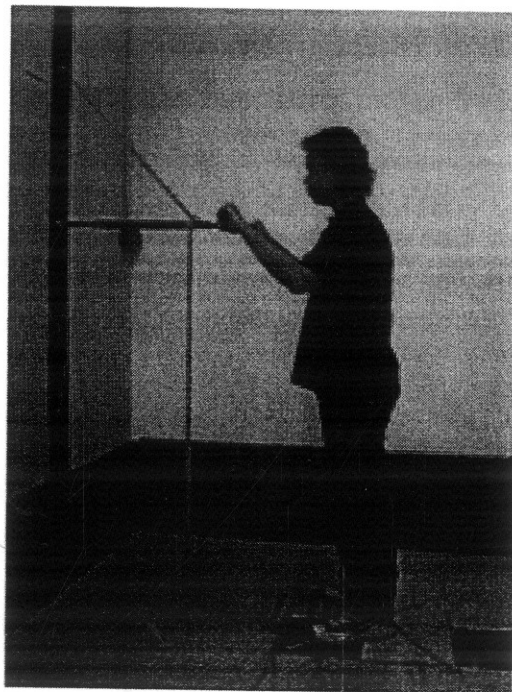
Mital, A. and Kumar, S. (1998). Human muscle strength definitions, measurement, and usage: Part I- Guidelines for the practitioner, International Journal of Industrial Ergonomics, 22: 101-121.

National Institute for Occupational Safety and Health (1981). Work practices guide for manual lifting (Tech. Report 81-222). Cincinnati, OH

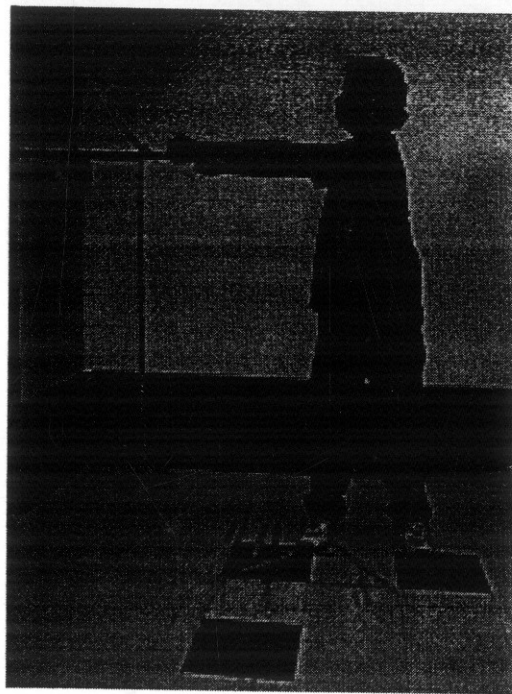
Sanook, S.H. (1978). The design of manual handling tasks, Ergonomics, 21, 963-985.

- Sanook, S.H. Irvine, C.H., and Bass, S.F. (1970). Maximum and weights and workloads acceptable to male industrial workers: A study of lifting, lowering, pushing, pulling, carrying, and walking tasks, American Industrial Hygiene Association Journal, 31, 579-586.
- Waters, T.R., Putz-Anderson, V. and Garg, A.(1993). Revised NIOSH equation for the design and evaluation of manual lifting tasks, Ergonomics, 36, 749-776.

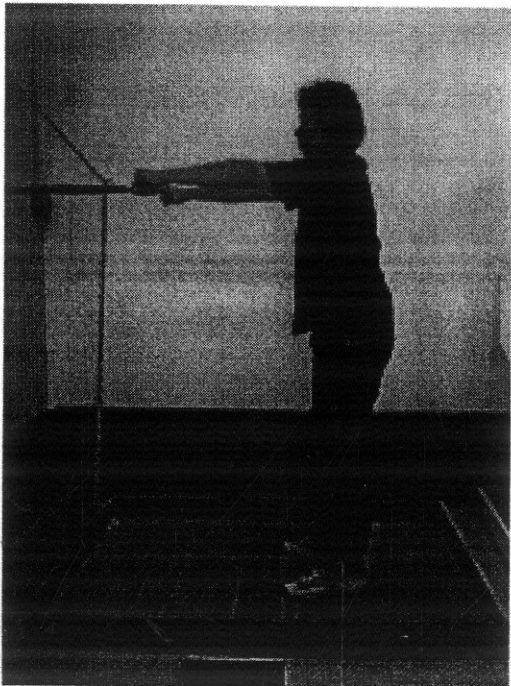
ภาคผนวก ก



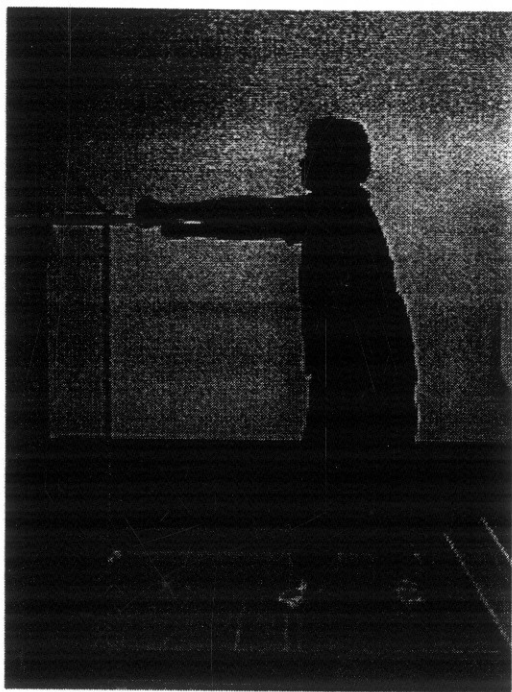
ภาพ ก1 การออกแรงดันและลากบนพื้นปกติที่ความสูงระดับไหล่ในครั้งหนึ่งของระบบเหยียดแขนเมื่อทำมุม 0 องศา



ภาพ ก2 การออกแรงดันและลากบนพื้นปกติที่ความสูงระดับไหล่ในระบบเหยียดแขนเมื่อทำมุม 90 องศา



ภาพ ก3 การออกแรงดันและลากบันพื้นลื่นที่ความสูงระดับไหล่ในระบบเหยียดแขนเมื่อทำมุน 0 องศา



ภาพ ก4 การออกแรงดันและลากบันพื้นลื่นที่ความสูงระดับไหล่ในระบบเหยียดแขนเมื่อทำมุน 90 องศา

ประวัติผู้วิจัย

นางสาว พรศิริ คงกต สำเร็จการศึกษาระดับปริญญาตรีทางวิศวกรรมศาสตร์ (วิศวกรรมอุตสาหการ) จากมหาวิทยาลัยขอนแก่น ใน พ.ศ. 2532 ต่อมาได้สำเร็จการศึกษาระดับปริญญาโททางวิศวกรรมศาสตร์ (วิศวกรรมอุตสาหการ) จากจุฬาลงกรณ์มหาวิทยาลัย ใน พ.ศ. 2534 และสำเร็จการศึกษาระดับปริญญาเอกทางวิศวกรรมศาสตร์ (Ph.D. in Industrial Engineering) จาก Dalhousie University ประเทศ Canada ใน พ.ศ. 2543 เริ่มปฏิบัติงานที่มหาวิทยาลัยเทคโนโลยีสุรนารี ��าก เมือง จังหวัดนครราชสีมา ตั้งแต่วันที่ 4 สิงหาคม 2536 จนถึงปัจจุบัน โดยปัจจุบันดำรงตำแหน่งผู้ช่วยศาสตราจารย์ ประจำสาขาวิชาวิศวกรรมอุตสาหการ

